



Büro für Tragwerksplanung und Ingenieurbau
vom Felde + Keppler GmbH & Co. KG

Lütticher Straße 10-12
52064 Aachen
www.vom-felde.de

Telefon: 0241 / 70 96 96
Telefax: 0241 / 70 96 46
buero@vom-felde.de

Statische Berechnung
Structural Report

F34-PL

14902

Stand 11/08/2014

für das System der Firma
for the system by

Global Truss
Furong Industrial Area
Shajing Town

Baoan District Shenzhen China

Aufgestellt:
compiled by:

Aachen, 11.08.2014



Diese statische Berechnung umfasst die Seiten 1 - 31
This Structural Report includes pages

Diese statische Berechnung ist ausschließlich aufgestellt für die Firma Global Truss.
Eine Weitergabe an Dritte ist nur mit vorheriger Genehmigung des Aufstellers möglich.
This Structural Report is set up exclusively for the company Global Truss.
Forwarding to third parties only with the author's approval.



INHALTSVERZEICHNIS

Table of contents

1	VORBEMERKUNGEN / PRELIMINARY NOTES	1
1.1	Grundlagen / Basics	1
1.2	Verwendete Baustoffe / Materials	1
1.3	Allgemeine Beschreibung / General remarks.....	1
1.4	Geometrie und Belastung / Geometry and loadings	3
2	SYSTEM.....	6
3	QUERSCHNITTS - UND MATERIALEIGENSCHAFTEN / SECTION- AND MATERIAL PROPERTIES	7
4	ZULÄSSIGE BELASTUNGEN EINZELBAUTEILE / ALLOWABLE LOADING SINGLE COMPONENTS	10
5	ZULÄSSIGE BELASTUNG EINFELDTRÄGER / ALLOWABLE LOADING SINGLE SPAN GIRDER	16
5.1	Gleichlast vertikal (UDL) / Vertically uniformly distributed loads (UDL)	16
5.2	Einzellast in Feldmitte / Single point load in 1/2 point	18
5.3	Einzellasten in den Drittelpunkten / Single point load in 1/3 points	21
5.4	Einzellasten in den Viertelpunkten / Single point load in 1/4 points	24
5.5	Einzellasten in den Fünftelpunkten / Single point load in 1/5 points	27
6	ZUSAMMENFASSUNG DER ERGEBNISSE / SUMMARS OF RESULTS.....	30
6.1	Zulässige Belastung / Allowable loading:.....	30
6.2	Vorhandene Durchbiegung unter max. Belastung / Deflection at allowable loading:	31
	<u>ANHÄNGE / ANNEXES</u>	

Zeichnungen Systeme F34-PL.
Drawings F34-PL

F34050PL-Model, F34100PL-Model, F34150PL-Model,
F34200PL-Model, F34300PL-Model, F34350PL-Model,
F34400PL-Model, F34450PL-Model, F34500PL-Model



1 VORBEMERKUNGEN

PRELIMINARY NOTES

1.1 Grundlagen

Basics

Die z.Zt. gültigen Vorschriften und Normen, insbesondere:

DIN EN 1991-1	Lastannahmen für Bauten (Eurocode 1) Actions on structures (Eurocode 1)
DIN EN 13814	Fliegende Bauten Fairground and amusement park machinery and structures
DIN EN 13782	Fliegende Bauten – Zelte Temporary Structures – Tents
DIN EN 1993-1	Bemessung und Konstruktion von Stahlbauten (Eurocode 3) Design of steel structures
DIN EN 1999-1	Bemessung und Konstruktion von Aluminiumtragwerken (Eurocode 9) Design of aluminium structures

1.2 Verwendete Baustoffe

Materials

Rohre / Tubes	Aluminium EN AW-6082 T6
Bolzen / Bolts	Güte mind. 8.8 (grade min. 8.8)

1.3 Allgemeine Beschreibung

General Remarks

Diese statische Berechnung beinhaltet die Berechnung und die Nachweise eines Traversensystems, das von der Firma GLOBAL TRUSS hergestellt wird. Die Bezeichnung des Traversentyps lautet F34-PL. Die Berechnung ist Grundlage für eine Bauartprüfung durch einen TÜV auf Grundlage der EN 1999-1.

Es handelt sich um ein „Baukastensystem“ mit den folgenden möglichen Einzelelementlängen: 500mm, 1000mm, 1500mm, 2000mm, 3000mm, 3500mm, 4000mm, 4500mm und 5000mm.

Die Traverse bestehen aus zwei Ober- bzw. Untergurten (Rundrohre 48 x 3mm), in quadratischer Anordnung und angeschweißten Diagonalstäben (Rundrohre 16 x 2mm). Die Diagonalstäbe werden in allen 4 Seiten angeordnet.

Der Achsabstand der Gurtrohre beträgt 24 cm in vertikaler Richtung und 24 cm in horizontaler Richtung.

Die Traversen werden über Kupplungen miteinander verbunden, die aus einer Hülse, einem Verbinder und Bolzen bestehen.

Die zulässigen Belastungen sind in Tabellen aufgeführt (siehe Kapitel 6).

Die Nachweise der Einzelbauteile erfolgen nach dem Sicherheitskonzept nach EN 1990 mit einem Teilsicherheitsbeiwert auf der Lastseite von $\gamma_F = 1,50$ für Nutzlasten.

Bei Anwendungsfällen, die auf Grundlage anderer Normen berechnet werden, können die Teilsicherheitsbeiwerte auf der Lastseite angepasst werden (z.B. fliegende Bauten nach EN 13814, $\gamma_F = 1,35$ für Nutzlasten).

Bei Anwendung des British Standard (BS) und des ANSI müssen die in den Tabellen aufgeführten zulässigen Belastungen mit dem Faktor 0,85 multipliziert werden.



This structural report is an structural calculation concerning a truss system produced by the company GLOBAL TRUSS. The truss types go by the names F34-PL. The structural report is the basis for the certification by TÜV based on EN 1999-1.

The truss system is part of a "modular construction system" with the different truss lengths

500mm, 1000mm, 1500mm, 2000mm, 3000mm, 3500mm, 4000mm, 4500mm and 5000mm.

The Trusses consist of two upper and two lower main chords (round tube 48 x 3mm), which are arranged in a quadratic shape. The trusses also consist of welded diagonal bracings (round tube 16 x 2mm). The truss type F34-PL is stiffened by diagonal bracings at all four sides.

The distance between system lines of the mainchords is 24 cm in vertical- and 24 cm in horizontal direction.

The trusses are connected with couplers consisting of female fittings, connectors and bolts.

The allowable loads are listed in tables (see chapter 6).

The verification of the single parts is done according the safety concept of EN 1990 with a partial safety factor of the loading side of 1.50 for payloads.

For applications which can be calculated on the basis of other codes, the partial safety factors can be adjusted (for example temporary structures acc. EN 13814, $\gamma_F = 1.35$ for payloads).

To use the resulting allowable loads with British Standard (BS) and ANSI, the allowable loads listed in tables have to be multiplied by 0.85.

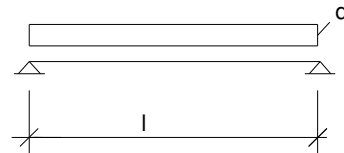


1.4 Geometrie und Belastung

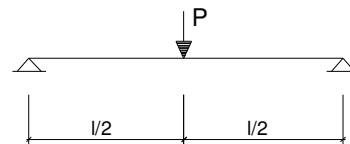
Geometry and Loadings

Als Belastung werden folgende Lastarten untersucht /
the following loadcases are taken into account

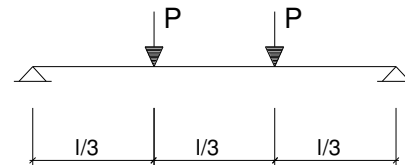
Gleichlast vertikal
uniformly distributed load (UDL)



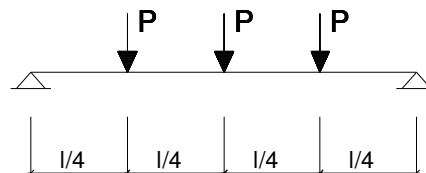
Einzellast in Feldmitte
Single-load in 1/2 point



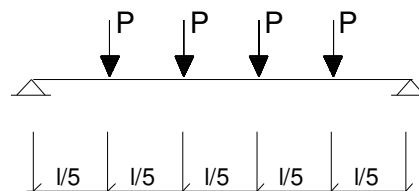
Einzellasten in den Drittelpunkten
Single-load in 1/3 point



Einzellasten in den Viertelpunkten
Single-load in 1/4 point



Einzellasten in den Fünftelsspunkten
Single-load in 1/5 point

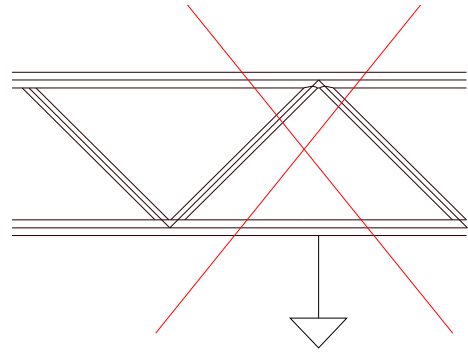
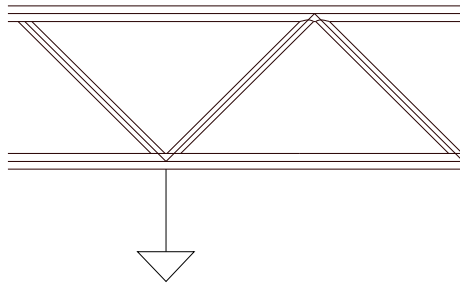


Das Eigengewicht der Traverse beträgt ca. 6 kg/m.
The selfweight of the truss is approx. 6 kg/m

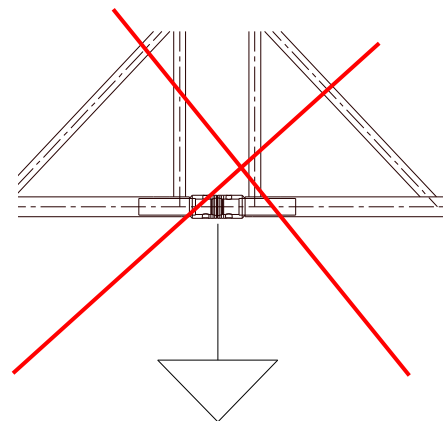
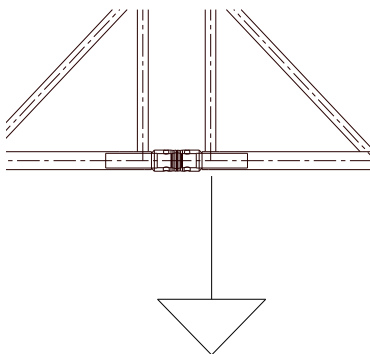


Für die Anwendung der hier ermittelten Belastungswerte gelten folgende Regeln:
For the application of the calculated allowable loadings the following rules have to be regarded:

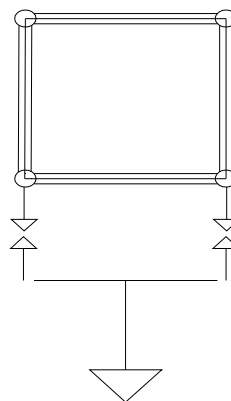
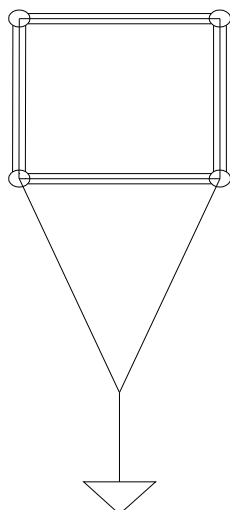
Die Einzellasten sind an den Knoten einzuleiten oder über geeignete zusätzliche Konstruktionen zu verteilen.
Large loads have to be applied at the nodes or have to be distributed by appropriate constructions.



Die Lasten mittig auf den Kupplungen sind nicht zulässig.
Loads at the middle of the couplers are not allowed.

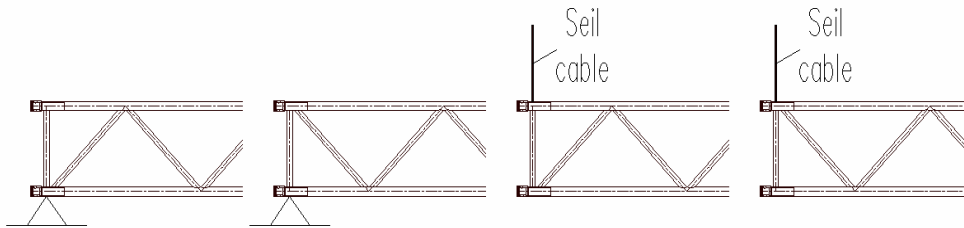


Alle Lasten sind gleichmäßig auf beide Gurte zu verteilen.
All loads have to be distributed equally to both chords.



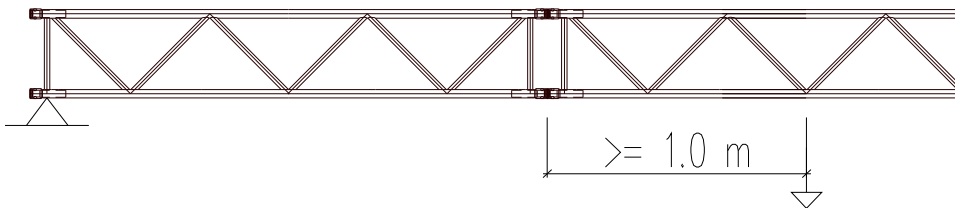


Für die Auflagerung bzw. Aufhängung des Systems bestehen folgende Möglichkeiten:
For the support or suspension there are the following possibilities:



Bei Einschränkung der Position der Kupplung (siehe Kapitel 4, Fall 2), ist die Kupplung so anzuordnen, dass sie von der Lasteinleitungsstelle aus gesehen $\geq 1,0$ m in Richtung des Auflagers liegt.

When restricting the position of the coupler (see chapter 4, case 2), the coupler has to be located $\geq 1,0$ m from the loading point into the direction of the support.





2 SYSTEM

Zeichnungen Systeme F34-PL
Drawings F34-PL

F34050PL-Model, F34100PL-Model, F34150PL-Model,
F34200PL-Model, F34300PL-Model, F34350PL-Model,
F34400PL-Model, F34450PL-Model, F34500PL-Model

siehe Anhang
see annex



3 QUERSCHNITTS - UND MATERIALEIGENSCHAFTEN

SECTION- AND MATERIAL PROPERTIES

Querschnittswerte Rohre / properties Tubes						
	D	t	A	I	Wel	i
	[mm]	[mm]	[cm ²]	[cm ⁴]	[cm ³]	[cm]
Gurtrohre / main chords	48,0	3	4,24	10,78	4,49	1,59
vertikal Diagonalen / Bracing	16	2	0,88	0,22	0,27	0,50
horizontal Diagonalen / Bracing	16	2	0,88	0,22	0,27	0,50

Geometrie Traverse / truss geometry				
Achsabstand Gurtrohre	vertikal	ev	24	[cm]
distance axes main chords	horizontal	eh	24	[cm]
min. Neigung Diagonalen	vertikal	α	43,8	[°]
min. gradient bracing	horizontal	α	43,8	[°]
Kennwerte Gesamttraverse / properties truss-Section				
A	=	$4 \times A_G$	=	16,96 [cm ²]
I _{yy}	=	$4 \times I_G + 4 \times A_G \times (ev/2)^2$	=	2486,03 [cm ⁴]
I _{zz}	=	$4 \times I_G + 4 \times A_G \times (eh/2)^2$	=	2486,03 [cm ⁴]
I _t	=	Näherung aus Erfahrungswerten	=	350,69 [cm ⁴]
i _y	=	$(I_{yy}/A)^{1/2}$	=	12,11 [cm]
i _z	=	$(I_{zz}/A)^{1/2}$	=	12,11 [cm]
Index G : Querschnittseigenschaft Gurtrohr section properties main chord				



Materialeigenschaften
Material properties

Gurtrohre + Diagonalen EN AW 6082 T6 (AlMgSi1)
chords and bracing

zulässige Spannungen nach EN-1999-1-1 / allowable stress acc. to EN-1999-1-1

Teilsicherheitsbeiwerte Material / partial safety factors material

YM1=	1,10	Beulklasse / BC=	A
YM2=	1,25		

0,2%-Dehngrenze / 0,2%-Proof Strength

fo t=5mm=	250 [N/mm ²]	Zugfestigkeit / ultimate tensile strength	fu t=5mm=	290 [N/mm ²]
fo t>5mm=	260 [N/mm ²]		fu t>5mm=	310 [N/mm ²]
fo,haz=	125 [N/mm ²]		fu,haz=	185 [N/mm ²]

Festigkeit der Schweißnaht
Strength of welding seams

fw= 190 [N/mm²]

Faktor für die WEZ-Werte beim WIG-Schweißen:
Factor for HAZ-values for TIG-welding:

0,8

Bolzen / Bolt min. grade 8.8

Verbinder / Connector EN AW 2011 (AlCuBiPb F37)

0,2%-Dehngrenze / 0,2%-Proof Strength

fo>	230 [N/mm ²]	Zugfestigkeit / ultimate tensile strength	fu>	310 [N/mm ²]
-----	--------------------------	---	-----	--------------------------

Hülse / Female fitting EN AW 6082 T6

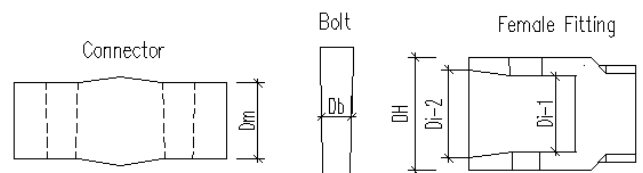
zulässige Spannungen nach EN-1999-1-1 / allowable stress acc. to EN-1999-1-1

Teilsicherheitsbeiwerte Material / partial safety factors material

YM1=	1,10
YM2=	1,25

0,2%-Dehngrenze / 0,2%-Proof Strength

fo=	250 [N/mm ²]	Zugfestigkeit / ultimate tensile strength	fu=	290 [N/mm ²]
-----	--------------------------	---	-----	--------------------------





Querschnitts- und Materialeigenschaften der Gurtrohre / Section- and material properties of the chord tubes			
Material	E=	70000	[N/mm ²]
	fo=	250,00	[N/mm ²]
	fo/YM1=	227,27	[N/mm ²]
	fo,haz=	125,00	[N/mm ²]
	fu=	290,00	[N/mm ²]
	fu/YM2=	232,00	[N/mm ²]
	fu,haz/YM2=	148,00	[N/mm ²]
Querschnitt cross section	D0=	48,00	[mm]
	A=	4,24	[cm ²]
	I=	10,78	[cm ⁴]
	i=	1,59	[cm]
Bestimmung der QS-Klasse Determination of section-class	β=	12,00	[-]
	ε=	1,00	[-]
	QS-Klasse=	2	3 · (D0 / t) ^{0,5} nach 6.10 (250 / fo) ^{0,5} nach Kap. 6.1.4.4 acc. chapter 6.1.4.4
Beiwerte Biegeknicken Coefficients for buckling	BC=	A	[-]
	α=	0,20	[-]
	λ0=	0,10	[-]
teff im Bereich der WEZ teff in heat affected zone	red-Faktor=	0,8	[-] (WIG TIG)
	Knotenpunkt mit 1 Diagonalen / node with 1 bracing		
	D1=	16,00	[mm]
	U _{WEZ} =	76,00	[mm] D1 + 2 · 30
	U _{Total} =	150,80	[mm]
	teff,o/t=	0,70	[-] [1 - (1 - red-Faktor · fo,haz / fo) · U _{WEZ} / U _{Total}]
	teff,u/t=	0,75	[-] [1 - (1 - red-Faktor · fu,haz / fu) · U _{WEZ} / U _{Total}]
	Knotenpunkt mit 2 Diagonalen / node with 2 bracing		
	D1=	16,00	[mm]
	D2=	16,00	[mm]
	U _{WEZ} =	113,70	[mm] π / 4 · D0 + D1 / 2 + D2 / 2 + 2 · 30
	U _{Total} =	150,80	[mm]
teff,o / t=	0,55	[-] [1 - (1 - red-Faktor · fo,haz / fo) · U _{WEZ} / U _{Total}]	
teff,u / t=	0,63	[-] [1 - (1 - red-Faktor · fu,haz / fu) · U _{WEZ} / U _{Total}]	

Querschnitts- und Materialeigenschaften der Diagonalen / Section- and material properties of the bracing			
Material	E=	70000	[N/mm ²]
	fo=	250,00	[N/mm ²]
	fo/YM1=	227,27	[N/mm ²]
	BC=	A	[-]
	α=	0,20	[-]
	λ0=	0,1	[-]
Querschnitt / cross section	D0=	16	[mm]
	A=	0,88	[cm ²]
	I=	0,22	[cm ⁴]
	i=	0,50	[cm]



4 ZULÄSSIGE BELASTUNGEN EINZELBAUTEILE

ALLOWABLE LOADING SINGLE COMPONENTS

Gurtrohr im Bereich der WEZ an der Kupplung main chord in heat affected zone at coupler			
$NRd = A \times 0,8^* \times f_{u,haz} / Y_{M2} =$	50,22	[kN]	*(WIG TIG) örtliche Schweißnaht nach Kap. 6.2.9.3 (1) local welding seam acc. chapter 6.2.9.3 (1)
Gurtrohr im Bereich der WEZ main chord in heat affected zone			
Knotenpunkt mit 1 Diagonalen / node with 1 bracing			
$NRd = A_{eff} \times f_o / Y_{M1} =$ (mit $A_{eff} = t_{eff,o} / t \times A$)	67,24	[kN]	örtliche Schweißnaht nach Kap. 6.2.9.3 (2) local welding seam acc. Chapter 6.2.9.3 (2)
Knotenpunkt mit 2 Diagonalen / node with 2 bracing			
$NRd = A_{eff} \times f_o / Y_{M1} =$ (mit $A_{eff} = t_{eff,o} / t \times A$)	52,78	[kN]	örtliche Schweißnaht nach Kap. 6.2.9.3 (2) local welding seam acc. Chapter 6.2.9.3 (2)
Knicken Gurtrohr zw. Knoten mit 1 Diagonale in der Mitte buckling main chord between nodes with 1 bracing in the middle			
$sk =$	48,00	[cm]	
$N_{cr} =$	323,34	[kN]	
$\lambda^* =$	0,57	[-]	
$\phi =$	0,71	[-]	
$X =$	0,88	[-]	
$A_1 =$	2,87	[cm ²]	nach Tab. 6.5
$\kappa =$	0,83	[-]	acc. table 6.5
$NRd = X \times \kappa \times A_{eff} \times f_o / Y_{M1} =$ (mit $A_{eff} = A$ für QSK 1,2 und 3, s. EN 1999-1-1 Kap. 6.3.1.1)	70,38	[kN]	nach Gl. 6.49 acc. equation 6.49
Knicken Gurtrohr zw. Knoten ohne Diagonale in der Mitte buckling main chord between nodes without bracing in the middle			
$sk =$	48,00	[cm]	
$N_{cr} =$	323,34	[kN]	
$\lambda^* =$	0,57	[-]	
$\phi =$	0,71	[-]	
$X =$	0,88	[-]	
$NRd = X \times A \times f_o / Y_{M1} =$	85,07	[kN]	nach Gl. 6.49 acc. equation 6.49
Schweißnaht zwischen Gurtrohr und Hülse welding seam between chord and female conical coupler			
$f_{w} =$	190,00	[N/mm ²]	
$Y_{mw} =$	1,25	[-]	
$NRd = A \times f_w / Y_{M1} =$	64,47	[kN]	nach Gl. 8.29 acc. equation 8.29

maßgebend für das Gurtrohr:
relevant for main chord tubes:

$NRd_G = 50,22$ kN



Diagonale im Bereich der WEZ bracing in heat affected zone			
$NR_d = A \times 0,8^* \times f_{u,haz} / Y_{M2} =$	10,42	[kN]	*(WIG TIG) örtliche Schweißnaht nach Kap. 6.2.9.3 (1) local welding seam acc. chapter 6.2.9.3 (1)
Knicken Diagonale buckling bracing			
sk=	25,50	[cm]	(Knicklänge = 0,75 x l)
N _{cr} =	23,36	[kN]	
λ* =	0,97	[-]	
φ =	1,06	[-]	
X =	0,68	[-]	
$NR_d = X \times A_G \times f_o / Y_{M1} =$	13,52	[kN]	nach Gl. 6.49 acc. equation 6.49
Schweißnaht zwischen Diagonale und Gurtrohr welding seam between chord and female conical coupler			
f _w =	190,00	[N/mm ²]	
Y _{mw} =	1,25	[-]	
$NR_d = A \times f_w / Y_{M1} =$	13,37	[kN]	nach Gl. 8.29 acc. equation 8.29

maßgebend für die Diagonalen: **NR_d = 10,42 kN**
relevant for bracing tubes:



Zulässige Normalkraft an der Kupplung:

Allowable normal force at coupler:

Bolzen / Bolt		
Material / material min grade 8.8	fy,bk=	64,00 [kN/cm²]
	fu,bk=	80,00 [kN/cm²]
Geometrie / geometry	Db=	1,08 [cm]
	Ab=	0,91 [cm²]
zul Normalkraft aus Abscheren n. EN 1999-1-1 allowable loading due to shearing acc. to EN 1999-1-1		
	$NRd = 2 \times 0,60 \times Ab \times f_{ub,k} / 1,25 =$	69,71 [kN]
Verbinder / Connector		
Material / material	EN AW 2011 (AlCuBiPb F37)	
Geometrie / geometry	Dm=	29 [mm]
<u>Lochleibung in Verbinder</u>	fu / YM2=	248,00 [N/mm²]
Bearing stress in connector	do=	11 [mm]
	t=	29 [mm]
	e1=	17,1 [mm]
	αb=	0,52 [-]
	e2=	14,5 [mm]
	k1=	1,99 [-]
	$NRd = k1 \times \alpha b \times fu \times d \times t / YM2 =$	81,62 [kN]
Nachweis Restquerschnitt auf Zug Remaining section under tension		
	$NRd = 0,9 \times A_{net} \times fu / YM2 =$	76,23 [kN]
Hülse / Female Fitting		
Geometrie / geometry	DH=	48 [mm]
	Di-1=	29 [mm]
	Di-2=	35 [mm]
	Di-m=	32 [mm]
<u>Lochleibung in Hülse</u>	fu / YM2=	232 [N/mm²]
Bearing stress in female fitting	do=	13 [mm]
	t = DH - Di-m=	16 [mm]
	e1>	23 [mm]
	αb=	0,59
	e2>	20 [mm]
	k1=	2,5
	$NRd = k1 \times \alpha b \times fu \times d \times t / YM2 =$	71,15 [kN]

Die zulässige Normalkraft der Kupplung ist nicht maßgebend gegenüber der zulässigen Normalkraft der Gurtrohre ($NRd_G = 50,22 \text{ kN} < 69,71 \text{ kN}$).



Interaktion Biegung und Normalkraft an der Kupplung

Interaction bending and normal force at coupler

Normalkraft und Biegemomente werden über die Schweißnaht zwischen Kupplung und Gurtrohr übertragen.

Nachweis der Interaktion Biegung und Normalkraft an Kupplung
Verification of interaction bending and normal force at coupler

$$\Rightarrow (Nsd_G / NRd_G)^{1,3} + (Msd_G / MRd_G) < 1,0$$

mit $Nsd_G = Nsd / 4 + Msd / (2 \cdot 0,24 \text{ m})$

und $Msd_G = 0,25 \cdot Qsd \cdot 5,2 \text{ cm} = 1,30 \text{ cm} \cdot Qsd$

$\Rightarrow a = \text{Faktor für Hebelarm an der Kupplung} = 1,30 \text{ cm}$

Nsd, Msd und Qsd : globale Schnittgrößen in der Traverse (in kN bzw. kNm)
global internal forces in the truss (in kN resp. kNm)

Die globalen Schnittgrößen sind Bemessungsschnittgrößen, die die folgenden Sicherheitsbeiwerte nach Eurocode enthalten:

The global internal forces include the following safety factors acc. Eurocode:

Eigengewicht der Traversen: $yF = 1,35$

selfweight of the truss:

Nutzlasten auf der Traversen: $yF = 1,50$

Net load on the truss:

$NRd_G =$ zulässige Beanspruchung des Gurtrohrs in der WEZ (siehe folgende Tabelle):

= allowable loading of the chord in the heat affected zone (see following table):

Gurtrohr im Bereich der WEZ an der Kupplung main chord in heat affected zone at coupler			
$NRd = A \times 0,8 \times f_{u,haz} / \gamma_{M2}$	=	50,22 [kN]	*(WIG TIG) örtliche Schweißnaht nach Kap. 6.2.9.3 (1) local welding seam acc. chapter 6.2.9.3 (1)

$MRd_G = MuRd$ (siehe folgende Tabelle):

= $MuRd$ (see following table):

Lokale Biegung Gurtrohr Knotenpunkt vollst. in WEZ Local bending of chord			
örtliche Schweißnaht nach Kap. 6.2.9.3 (1) local welding seam acc. Chapter 6.2.9.3 (1)			
D	=	48 [mm]	
red Faktor	=	0,8 [-]	(WIG TIG)
$\rho_{u,haz}$	=	0,64 [-]	$f_{u,haz} / f_u$
$t_{u,eff}$	=	1,53 [mm]	red-Faktor $\cdot \rho_{u,haz} \cdot t$
$W_{net} = \pi \times R^2 \times t_{u,eff}$	=	2,44 [cm ³]	mit $R = D / 2 - t / 2$
$MuRd = W_{net} \cdot f_u / \gamma_{M2}$	=	56,49 [kNcm]	nach Gl. 6.24 acc. equation 6.24



Es werden 3 Fälle betrachtet.
The following 3 cases are taken into account.

1. Belastung bei **gleichförmigen Streckenlasten**

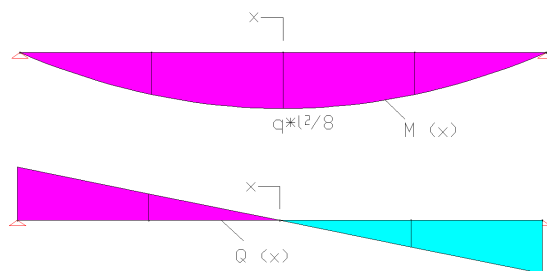
Loading with uniformly distributed load (UDL)

Hier wird immer eine Kupplung an der theoretisch ungünstigsten Stelle berücksichtigt.
Diese ergibt sich aus folgender Extremwertbetrachtung:

The coupler is always located at the theoretically worst point. This results from the following extremum-calculation:

Hinweis: Bei der Ermittlung der ungünstigsten Stelle wird der Exponent 1,3, der beim Verhältnis der einwirkenden zur zulässigen Normalkraft eingeht, mit ausreichender Genauigkeit nicht angesetzt.

For the determination of the worst position of the coupler, the exponent 1,3, for the relation of actual load to the allowable load is not taken into account with sufficient accuracy.



$$Msd(x) = qsd \cdot L^2 / 8 - qsd \cdot x^2 / 2$$

$$Qsd(x) = qsd \cdot x$$

$$NRd_G = 50,22 \text{ kN}$$

$$MRd_G = 56,49 \text{ kNcm}$$

$$M\text{-}Q \text{ Interaktion} \quad Msd(x) / (2 \cdot 0,24 \cdot 50,22) + Qsd(x) \cdot 1,30 / 56,49$$

$$\text{Extremwert:} \quad d/dx \sigma(x) = 0$$

$$\Rightarrow x = 2 \cdot 0,24 \cdot 50,22 \cdot 1,30 / 56,49 = 0,555 \text{ m}$$

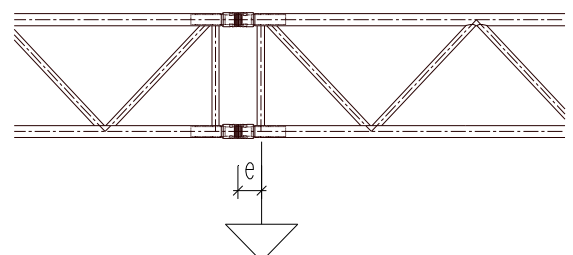
(Abstand von Feldmitte / from middle of span)

2. Belastung durch **Einzellasten** ohne Einschränkung hinsichtlich Position der Kupplung

Loading with **single-point loads** without requirements for position of couplers

Keine Anforderungen an Position der Kupplung (Abstand der Lasteinleitungsstelle zur Kupplung beträgt e, siehe unten). Die zulässigen Belastungen aus diesem Fall müssen angesetzt werden für den Fall, dass der Abstand der Kupplung von der Lasteinleitungsstelle <1,0 m beträgt.

No requirements for position of coupler (Distance between load and coupler is e, see below). The allowable loads of this case have to be regarded, if the distance between coupler and load is <1,0 m.

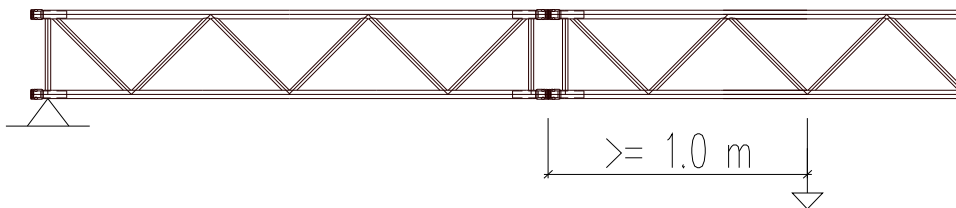




3. Alternativ zu (2): Belastung durch Einzellasten mit Einschränkung hinsichtlich Position der Kupplung Loading with single-point loads with requirements for position of couplers

Hier wird vorausgesetzt, dass eine Kupplung mindestens 1,0m von der Lasteinleitungsstelle entfernt ist. Die Kupplung ist so anzuordnen, dass sie von der Lasteinleitungsstelle aus gesehen $>1,0$ m in Richtung des Auflagers liegt.

In this case it is assumed, that the coupler is located $>1,0$ m from the loading-point. The coupler has to be located in that manner, so that the distance is $>1,0$ m into the direction of the support-point.



Zusammenfassung

Summary

Maßgebend für die Ermittlung der zulässigen Belastungen sind folgende Punkte:
Following points are relevant for the determination of the allowable loads:

1. Zulässige Normalkraft im Gurtrohr (NR_{dG})
Allowable normal force in main chord

Gurtrohr im Bereich der WEZ an Kupplung maßgebend $\Rightarrow NR_{dG} = 50,22$ kN
Main chord in heat affected zone at coupler is relevant
2. Globale Querkraft in der Traverse (Q)
Global shear force in truss

Maßgebend Zul N-Kraft in Diagonalen Bereich der WEZ $\Rightarrow NR_{dD} = 10,42$ kN
Allowable normal force in diagonals at nodes is relevant

zul Querkraft aus $QR_d / (2 \cdot \sin 43,8^\circ) < 0,9 \cdot NR_{dD}$

* 10 % Abminderung wg. Einfluss aus Nebenspannungen
(10% reduction because of minor stresses)

\Rightarrow zul $QR_d = 0,9 \cdot 10,42 \cdot 2 \cdot \sin 43,8^\circ \Rightarrow QR_d = 12,98$ kN
3. Interaktion Querbiegung und Normalkraft an der Kupplung
Interaction bending and normal force at coupler siehe Seite 14
see pg. 14



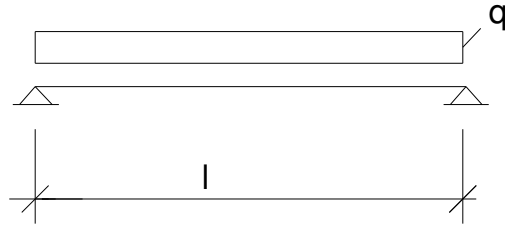
5 ZULÄSSIGE BELASTUNG EINFELDTRÄGER

ALLOWABLE LOADING SINGLE SPAN GIRDER

5.1 Gleichlast vertikal (UDL)

uniformly distributed load (UDL)

System:



Belastungsformel

$$q_{sd} = p_{sd} + g_{sd}$$

(Nutzlast + Eigengewicht, inkl. Sicherheiten)

Normalkraft im Gurt:

$$NR_d \geq q_{sd} \cdot L^2 / 8 / (n \cdot b)$$

$$\Rightarrow q_{sd} \leq NR_d \cdot (n \cdot b) \cdot 8 / L^2$$

$$\Rightarrow \text{zul } p = (NR_d \cdot (n \cdot b) \cdot 8 / L^2 - g_{sd}) / \gamma_F$$

Normalkraft in der Diagonalen

$$QR_d \geq q_{sd} \cdot L / 2$$

$$\Rightarrow q_{sd} \leq QR_d \cdot 2 / L$$

$$\Rightarrow \text{zul } p = (QR_d \cdot 2 / L - g_{sd}) / \gamma_F$$

Interaktion an der Kupplung:

Nachweis der Interaktion Biegung und Normalkraft an Kupplung durch ein iteratives Verfahren.
Verification of interaction bending and normal force at coupler by an iterative method.

$$\Rightarrow (N_{sd_G} / NR_{d_G})^{1,3} + (M_{sd_G} / MR_{d_G}) < 1,0$$

angesetzt: Abstand Kupplung von Feldmitte $e = 0,555$ m (ungünstigste Stelle, Herleitung: siehe Extremwertbetrachtung in Kapitel 4)

applied: The coupler is located at $e = 0,555$ m from the middle of the span (theoretically worst point, see extremum-calculation in chapter 4)

Belastungstabelle: siehe folgende Seite
Loading-table: see next page



Belastungstabelle:
Loading table:

Abstand Kupplung von Feldmitte $e = 0,555$ m
(ungünstigste Stelle, Herleitung: siehe Extremwertbetrachtung in Kapitel 4)

The coupler is located at $e = 0,555$ m from the middle of the span
(theoretically worst point, see extremum-calculation in chapter 4)

Gleichstreckenlast

Uniformly distributed load UDL

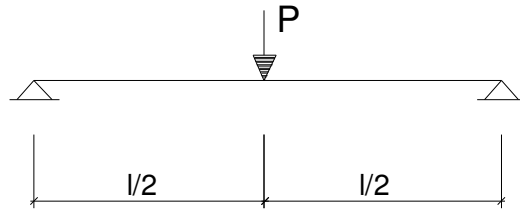
zulässige Belastung in Abhängigkeit von				
allowable load as a function of				
	Nrd	Qrd	Interaction at coupler	
L [m]	zul q [kN/m]	zul q [kN/m]	zul q [kN/m]	min zul q [kN/m]
4,00	7,98	4,27	7,63	4,27
5,00	5,09	3,41	4,94	3,41
6,00	3,52	2,83	3,45	2,83
7,00	2,57	2,42	2,53	2,42
8,00	1,95	2,11	1,93	1,93
9,00	1,53	1,87	1,52	1,52
10,00	1,23	1,68	1,22	1,22
11,00	1,01	1,52	1,00	1,00
12,00	0,84	1,39	0,83	0,83
13,00	0,71	1,28	0,70	0,70
14,00	0,60	1,18	0,60	0,60
15,00	0,52	1,10	0,52	0,52
16,00	0,45	1,03	0,45	0,45
17,00	0,39	0,96	0,39	0,39
18,00	0,34	0,91	0,34	0,34



5.2 Einzellast in Feldmitte:

Single-load in 1/2 point

System



Belastungsformel

Normalkraft im Gurt:

$$NRd \geq (P_{sd} \cdot L / 4 + g_{sd} \cdot L^2 / 8) / (n \cdot b)$$

$$\Rightarrow P_{sd} \leq [NRd \cdot (n \cdot b) - g_{sd} \cdot L^2 / 8] \cdot 4 / L$$

$$\Rightarrow \text{zul } P = [NRd \cdot (n \cdot b) - g_{sd} \cdot L^2 / 8] \cdot 4 / L / \gamma_F$$

Normalkraft in der Diagonalen

$$QRd \geq P_{sd} / 2 + g_{sd} \cdot L / 2$$

$$\Rightarrow P_{sd} \leq (QRd - g_{sd} \cdot L / 2) \cdot 2$$

$$\Rightarrow \text{zul } P = (QRd - g_{sd} \cdot L / 2) \cdot 2 / \gamma_F$$

Interaktion an der Kupplung:

Nachweis der Interaktion Biegung und Normalkraft an Kupplung durch ein iteratives Verfahren.
Verification of interaction bending and normal force at coupler by an iterative method.

$$\Rightarrow (N_{sdG} / NR_{dG})^{1,3} + (M_{sdG} / MR_{dG}) < 1,0$$

angesetzt: Lasteinleitung an der Kupplung e = 0,06 m

Alternativ: Abstand Kupplung von Lasteinleitung e >= 1,0 m

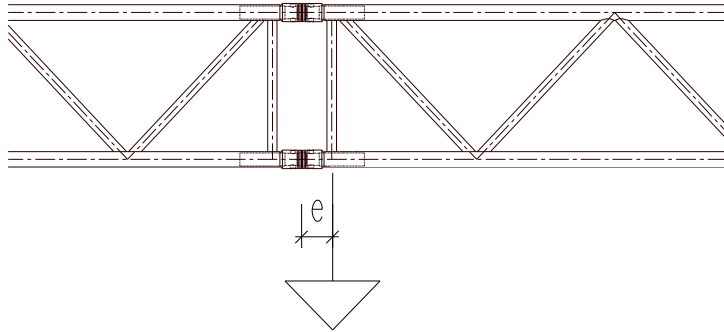
applied: Loading point at coupler e = 0,06 m

Alternatively: Location of coupler from loading point e >= 1,0 m

Belastungstabellen: siehe folgende Seiten
Loading-tables: see next pages



Lasteinleitung an der Kupplung $e = 0,06$ m
Loading point at coupler $e = 0,06$ m



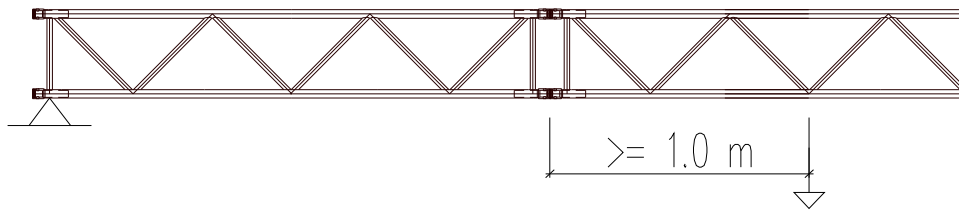
Einzellast in Feldmitte

Single-load in 1/2point

	zulässige Belastung in Abhängigkeit von allowable load as a function of			
	Nrd	Qrd	Interaction at coupler	
			0,06	= e [m]
L [m]	zul P [kN]	zul P [kN]	zul P [kN]	min zul P [kN]
4,00	15,96	17,09	13,53	13,53
5,00	12,72	17,04	11,14	11,14
6,00	10,55	16,98	9,44	9,44
7,00	8,99	16,93	8,17	8,17
8,00	7,82	16,87	7,19	7,19
9,00	6,90	16,82	6,40	6,40
10,00	6,16	16,77	5,75	5,75
11,00	5,55	16,71	5,21	5,21
12,00	5,03	16,66	4,75	4,75
13,00	4,59	16,60	4,35	4,35
14,00	4,21	16,55	4,01	4,01
15,00	3,88	16,50	3,70	3,70
16,00	3,59	16,44	3,43	3,43
17,00	3,32	16,39	3,19	3,19
18,00	3,09	16,33	2,96	2,96



Abstand Kupplung von Lasteinleitung $e \geq 1,0$ m
Location of coupler from loading point $e \geq 1,0$ m



Einzellast in Feldmitte

Single-load in 1/2point

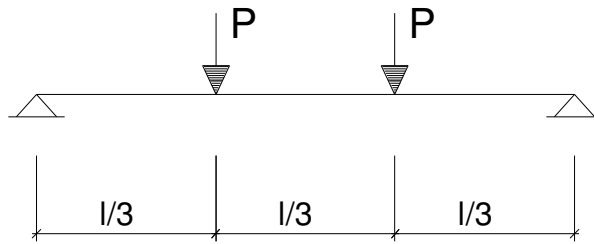
	zulässige Belastung in Abhängigkeit von			
	allowable load as a function of			
	Nrd	Qrd	Interaction at coupler	
			1	= e [m]
L [m]	zul P [kN]	zul P [kN]	zul P [kN]	min zul P [kN]
4,00	15,96	17,09	15,96	15,96
5,00	12,72	17,04	12,72	12,72
6,00	10,55	16,98	10,55	10,55
7,00	8,99	16,93	8,99	8,99
8,00	7,82	16,87	7,82	7,82
9,00	6,90	16,82	6,90	6,90
10,00	6,16	16,77	6,16	6,16
11,00	5,55	16,71	5,55	5,55
12,00	5,03	16,66	5,03	5,03
13,00	4,59	16,60	4,59	4,59
14,00	4,21	16,55	4,21	4,21
15,00	3,88	16,50	3,88	3,88
16,00	3,59	16,44	3,59	3,59
17,00	3,32	16,39	3,32	3,32
18,00	3,09	16,33	3,09	3,09



5.3 Einzellasten in den Drittelpunkten:

Single-loads in 1/3 points

System



Belastungsformel

Normalkraft im Gurt:

$$NRd \geq (P_{sd} \cdot L / 3 + g_{sd} \cdot L^2 / 8) / (n \cdot b)$$

$$\Rightarrow P_{sd} \leq [NRd \cdot (n \cdot b) - g_{sd} \cdot L^2 / 8] \cdot 3 / L$$

$$\Rightarrow \text{zul } P = [NRd \cdot (n \cdot b) - g_{sd} \cdot L^2 / 8] \cdot 3 / L / \gamma_F$$

Normalkraft in der Diagonalen

$$QRd \geq P_{sd} / 2 + g_{sd} \cdot L / 2$$

$$\Rightarrow P_{sd} \leq (QRd - g_{sd} \cdot L / 2)$$

$$\Rightarrow \text{zul } P = (QRd - g_{sd} \cdot L / 2) / \gamma_F$$

Interaktion an der Kupplung:

Nachweis der Interaktion Biegung und Normalkraft an Kupplung durch ein iteratives Verfahren.
Verification of interaction bending and normal force at coupler by an iterative method.

$$\Rightarrow (N_{sdG} / NR_{dG})^{1,3} + (M_{sdG} / MR_{dG}) < 1,0$$

angesetzt: Lasteinleitung an der Kupplung

$$e = 0,06 \text{ m}$$

Alternativ: Abstand Kupplung von Lasteinleitung

$$e \geq 1,0 \text{ m}$$

applied: Loading point at coupler

$$e = 0,06 \text{ m}$$

Alternatively: Location of coupler from loading point

$$e \geq 1,0 \text{ m}$$

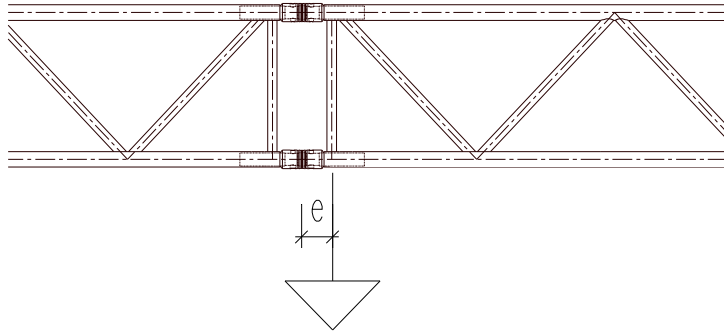
Belastungstabellen:
Loading-tables:

siehe folgende Seiten
see next pages



Lasteinleitung an der Kupplung
Loading point at coupler

$e = 0,06 \text{ m}$
 $e = 0,06 \text{ m}$



Last in den Drittelpunkten

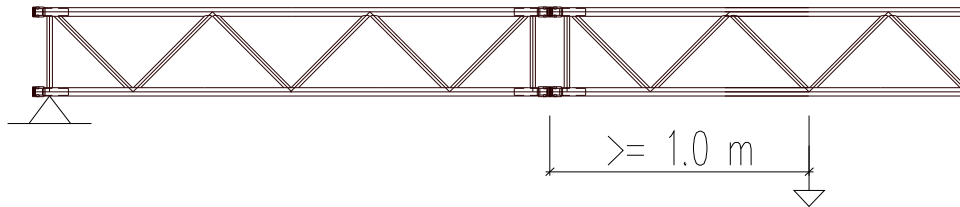
Single-load in 1/3points

zulässige Belastung in Abhängigkeit von				
allowable load as a function of				
	Nrd	Qrd	Interaction at coupler	
			0,06	= e [m]
L [m]	zul P [kN]	zul P [kN]	zul P [kN]	min zul P [kN]
4,00	11,97	8,55	8,55	8,55
5,00	9,54	8,52	7,79	7,79
6,00	7,91	8,49	6,71	6,71
7,00	6,75	8,46	5,85	5,85
8,00	5,86	8,44	5,18	5,18
9,00	5,17	8,41	4,63	4,63
10,00	4,62	8,38	4,18	4,18
11,00	4,16	8,36	3,80	3,80
12,00	3,77	8,33	3,48	3,48
13,00	3,45	8,30	3,20	3,20
14,00	3,16	8,28	2,95	2,95
15,00	2,91	8,25	2,74	2,74
16,00	2,69	8,22	2,54	2,54
17,00	2,49	8,19	2,37	2,37
18,00	2,31	8,17	2,21	2,21



Abstand Kupplung von Lasteinleitung
Location of coupler from loading point

$e \geq 1,0 \text{ m}$
 $e \geq 1,0 \text{ m}$



Last in den Drittelpunkten

Single-load in 1/3points

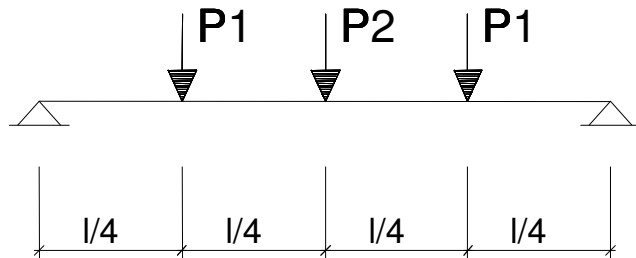
zulässige Belastung in Abhängigkeit von allowable load as a function of				
Nrd		Qrd	Interaction at coupler	
		1		
		= e [m]		
L [m]	zul P [kN]	zul P [kN]	zul P [kN]	min zul P [kN]
4,00	11,97	8,55	8,55	8,55
5,00	9,54	8,52	8,52	8,52
6,00	7,91	8,49	7,91	7,91
7,00	6,75	8,46	6,75	6,75
8,00	5,86	8,44	5,86	5,86
9,00	5,17	8,41	5,17	5,17
10,00	4,62	8,38	4,62	4,62
11,00	4,16	8,36	4,16	4,16
12,00	3,77	8,33	3,77	3,77
13,00	3,45	8,30	3,45	3,45
14,00	3,16	8,28	3,16	3,16
15,00	2,91	8,25	2,91	2,91
16,00	2,69	8,22	2,69	2,69
17,00	2,49	8,19	2,49	2,49
18,00	2,31	8,17	2,31	2,31



5.4 Einzellasten in den Viertelpunkten:

Single-loads in 1/4 points

System



Belastungsformel

Normalkraft im Gurt:

$$NRd \geq (Psd \cdot L / 4 + gsd \cdot L^2 / 8) / (n \cdot b)$$

$$\Rightarrow Psd \leq [NRd \cdot (n \cdot b) - gsd \cdot L^2 / 8] \cdot 2 / L$$

$$\Rightarrow \text{zul } P = [NRd \cdot (n \cdot b) - gsd \cdot L^2 / 8] \cdot 2 / L / yF$$

Normalkraft in der Diagonalen

$$QRd \geq 3 / 2 \cdot Psd + gsd \cdot L / 2$$

$$\Rightarrow Psd \leq (QRd - gsd \cdot L / 2) \cdot 2 / 3$$

$$\Rightarrow \text{zul } P = (QRd - gsd \cdot L / 2) \cdot 2 / 3 / yF$$

Interaktion an der Kupplung:

Nachweis der Interaktion Biegung und Normalkraft an Kupplung durch ein iteratives Verfahren.
Verification of interaction bending and normal force at coupler by an iterative method.

$$\Rightarrow (Nsd_G / NRd_G)^{1,3} + (Msd_G / MRd_G) < 1,0$$

angesetzt: Lasteinleitung an der Kupplung e = 0,06 m

Alternativ: Abstand Kupplung von Lasteinleitung e >= 1,0 m

applied: Loading point at coupler e = 0,06 m

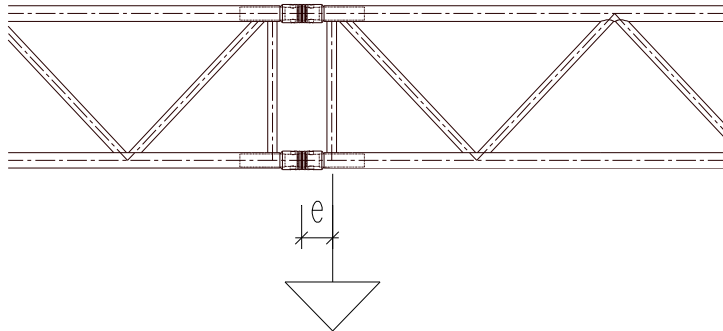
Alternatively: Location of coupler from loading point e >= 1,0 m

Belastungstabellen: siehe folgende Seiten
Loading-tables: see next pages



Lasteinleitung an der Kupplung
Loading point at coupler

$e = 0,06 \text{ m}$
 $e = 0,06 \text{ m}$



Last in den Viertelpunkten

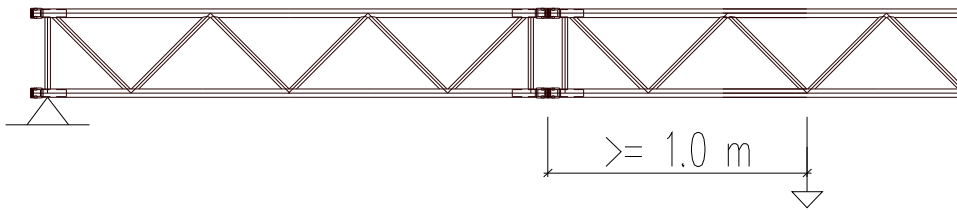
Single-load in 1/4points

		zulässige Belastung in Abhängigkeit von allowable load as a function of				
		Nrd	Qrd	Interaction at coupler 1	Interaction at coupler 2	
				0,06	0,06	= e [m]
L [m]	zul P [kN]	zul P [kN]	zul P [kN]	zul P [kN]	zul P [kN]	min zul P [kN]
4,00	7,98	5,70	8,05	7,33	5,70	
5,00	6,36	5,68	6,65	5,92	5,68	
6,00	5,28	5,66	5,68	4,96	4,96	
7,00	4,50	5,64	5,03	4,27	4,27	
8,00	3,91	5,62	4,51	3,73	3,73	
9,00	3,45	5,61	4,07	3,31	3,31	
10,00	3,08	5,59	3,70	2,97	2,97	
11,00	2,77	5,57	3,39	2,68	2,68	
12,00	2,52	5,55	3,12	2,44	2,44	
13,00	2,30	5,53	2,88	2,23	2,23	
14,00	2,11	5,52	2,67	2,05	2,05	
15,00	1,94	5,50	2,48	1,89	1,89	
16,00	1,79	5,48	2,31	1,75	1,75	
17,00	1,66	5,46	2,16	1,63	1,63	
18,00	1,54	5,44	2,02	1,51	1,51	



Abstand Kupplung von Lasteinleitung
Location of coupler from loading point

$e \geq 1,0 \text{ m}$
 $e \geq 1,0 \text{ m}$



Last in den Viertelpunkten

Single-load in 1/4points

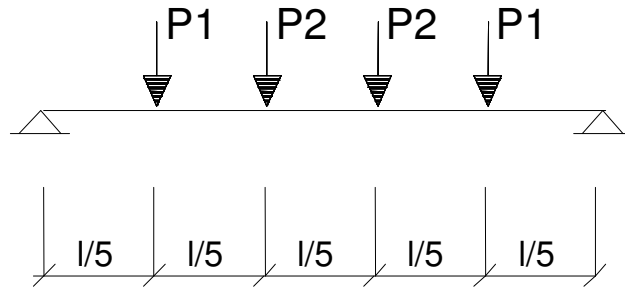
		zulässige Belastung in Abhängigkeit von allowable load as a function of				
		Nrd	Qrd	Interaction at coupler 1	Interaction at coupler 2	
				1	1	= e [m]
L [m]	zul P [kN]	zul P [kN]	zul P [kN]	zul P [kN]	zul P [kN]	min zul P [kN]
4,00	7,98	5,70	19,07	9,36	5,70	
5,00	6,36	5,68	15,27	7,20	5,68	
6,00	5,28	5,66	11,90	5,84	5,28	
7,00	4,50	5,64	9,61	4,90	4,50	
8,00	3,91	5,62	7,99	4,21	3,91	
9,00	3,45	5,61	6,80	3,69	3,45	
10,00	3,08	5,59	5,89	3,27	3,08	
11,00	2,77	5,57	5,17	2,93	2,77	
12,00	2,52	5,55	4,60	2,64	2,52	
13,00	2,30	5,53	4,12	2,40	2,30	
14,00	2,11	5,52	3,72	2,20	2,11	
15,00	1,94	5,50	3,38	2,02	1,94	
16,00	1,79	5,48	3,09	1,86	1,79	
17,00	1,66	5,46	2,83	1,72	1,66	
18,00	1,54	5,44	2,60	1,59	1,54	



5.5 Einzellasten in den Fünftelpunkten:

Single-loads in 1/5 points

System



Belastungsformel

Normalkraft im Gurt:

$$NRd \geq (Psd \cdot 3 / 5 \cdot L + gsd \cdot L^2 / 8) / (n \cdot b)$$

$$\Rightarrow Psd \leq [NRd \cdot (n \cdot b) - gsd \cdot L^2 / 8] \cdot 5 / 3$$

$$\Rightarrow \text{zul } P = [NRd \cdot (n \cdot b) - gsd \cdot L^2 / 8] \cdot 5 / 3 / L / \gamma_F$$

Normalkraft in der Diagonalen

$$QRd \geq 2 \cdot Psd + gsd \cdot L / 2$$

$$\Rightarrow Psd \leq (QRd - gsd \cdot L / 2) / 2$$

$$\Rightarrow \text{zul } P = (QRd - gsd \cdot L / 2) / 2 / \gamma_F$$

Interaktion an der Kupplung:

Nachweis der Interaktion Biegung und Normalkraft an Kupplung durch ein iteratives Verfahren.
Verification of interaction bending and normal force at coupler by an iterative method.

$$\Rightarrow (Nsd_G / NRd_G)^{1,3} + (Msd_G / MRd_G) < 1,0$$

angesetzt: Lasteinleitung an der Kupplung e = 0,06 m

Alternativ: Abstand Kupplung von Lasteinleitung e >= 1,0 m

applied: Loading point at coupler e = 0,06 m

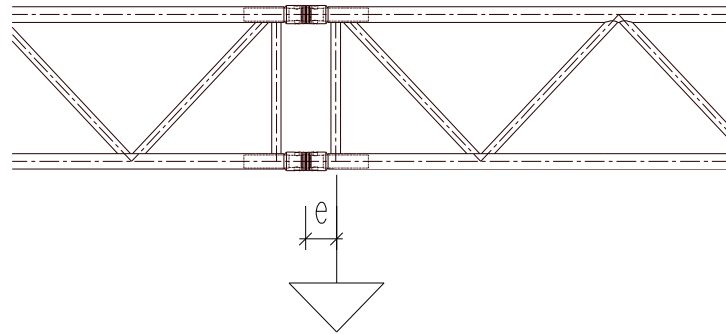
Alternatively: Location of coupler from loading point e >= 1,0 m

Belastungstabellen: siehe folgende Seiten
Loading-tables: see next pages



Lasteinleitung an der Kupplung
Loading point at coupler

$e = 0,06 \text{ m}$
 $e = 0,06 \text{ m}$



Last in den Fünftelpunkten

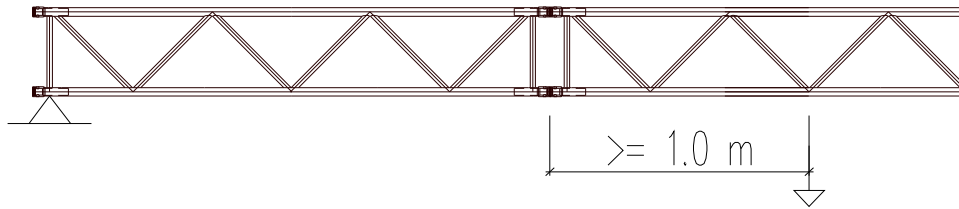
Single-load in 1/5points

zulässige Belastung in Abhängigkeit von allowable load as a function of					
	Nrd	Qrd	Interaction at coupler 1	Interaction at coupler 2	
			0,06	0,06	= e [m]
L [m]	zul P [kN]	zul P [kN]	zul P [kN]	zul P [kN]	min zul P [kN]
4,00	6,65	4,27	7,14	5,77	4,27
5,00	5,30	4,26	6,02	4,72	4,26
6,00	4,40	4,25	5,15	3,98	3,98
7,00	3,75	4,23	4,57	3,44	3,44
8,00	3,26	4,22	4,12	3,02	3,02
9,00	2,87	4,21	3,74	2,69	2,69
10,00	2,57	4,19	3,42	2,42	2,42
11,00	2,31	4,18	3,15	2,19	2,19
12,00	2,10	4,16	2,91	2,00	2,00
13,00	1,91	4,15	2,69	1,83	1,83
14,00	1,76	4,14	2,50	1,68	1,68
15,00	1,62	4,12	2,33	1,56	1,56
16,00	1,49	4,11	2,18	1,44	1,44
17,00	1,38	4,10	2,04	1,34	1,34
18,00	1,29	4,08	1,91	1,25	1,25



Abstand Kuppler von Lasteinleitung
Location of coupler from loading point

$e \geq 1,0 \text{ m}$
 $e \geq 1,0 \text{ m}$



Last in den Fünftelpunkten

Single-load in 1/5points

	zulässige Belastung in Abhängigkeit von allowable load as a function of				
	Nrd	Qrd	Interaction at coupler 1	Interaction at coupler 2	
			1	1	= e [m]
L [m]	zul P [kN]	zul P [kN]	zul P [kN]	zul P [kN]	min zul P [kN]
4,00	6,65	4,27	not relevant	not relevant	4,27
5,00	5,30	4,26	14,26	6,56	4,26
6,00	4,40	4,25	12,01	5,24	4,25
7,00	3,75	4,23	9,84	4,35	3,75
8,00	3,26	4,22	8,21	3,71	3,26
9,00	2,87	4,21	6,98	3,23	2,87
10,00	2,57	4,19	6,03	2,85	2,57
11,00	2,31	4,18	5,29	2,54	2,31
12,00	2,10	4,16	4,68	2,29	2,10
13,00	1,91	4,15	4,19	2,08	1,91
14,00	1,76	4,14	3,78	1,90	1,76
15,00	1,62	4,12	3,43	1,74	1,62
16,00	1,49	4,11	3,12	1,60	1,49
17,00	1,38	4,10	2,86	1,48	1,38
18,00	1,29	4,08	2,63	1,37	1,29



6 ZUSAMMENFASSUNG DER ERGEBNISSE

SUMMARY OF THE RESULTS

6.1 Zulässige Belastung:

Allowable loadings

Zulässige Belastung F34-PL

Einfeldträger / single-span beam

allowable load F34-PL

Spannweite Span	UDL UDL	Einzellasten / Single point loads			
		in 1/2 Punkt in 1/2 Point	in 1/3 Punkten in 1/3 Points	in 1/4 Punkten in 1/4 Points	in 1/5 Punkten in 1/5 Points
[m]	[kN/m]	[kN]	[kN]	[kN]	[kN]
4	4,27	13,53	8,55	5,70	4,27
5	3,41	11,14	7,79	5,68	4,26
6	2,83	9,44	6,71	4,96	3,98
7	2,42	8,17	5,85	4,27	3,44
8	1,93	7,19	5,18	3,73	3,02
9	1,52	6,40	4,63	3,31	2,69
10	1,22	5,75	4,18	2,97	2,42
11	1,00	5,21	3,80	2,68	2,19
12	0,83	4,75	3,48	2,44	2,00
13	0,70	4,35	3,20	2,23	1,83
14	0,60	4,01	2,95	2,05	1,68
15	0,52	3,70	2,74	1,89	1,56
16	0,45	3,43	2,54	1,75	1,44
17	0,39	3,19	2,37	1,63	1,34
18	0,34	2,96	2,21	1,51	1,25

Die Tabellenwerte gelten nur für das System eines Einfeldträgers.
The values of the table are only valid for single-span girder.

Die Traversenelemente müssen mit Diagonalen ausgebildet sein.
The truss-elements have to be braced with diagonals.

Die Einzellasten sind an den Knoten einzuleiten oder über geeignete zusätzliche Konstruktionen zu verteilen.
Large loads have to be applied at the nodes or have to be distributed by appropriate constructions.

Lasten mittig auf den Kupplungen sind nicht zulässig.
Loads at the middle of the couplers are not allowed.

Alle Lasten sind gleichmäßig auf beide Gurte zu verteilen.
All loads have to be distributed equally to both chords.

In den angegebenen Werten der Tabelle sind Teilsicherheitsbeiwerte auf der Lastseite nach EN 1990 mit einem $\gamma_F = 1,50$ für Nutzlasten und $\gamma_G = 1,35$ für das Eigengewicht der Traversen berücksichtigt.
The specified values include partial safety coefficients on the loadings side acc. EN 1990 of $\gamma_F = 1.50$ for payloads and $\gamma_G = 1.35$ for selfweight of the truss.



Bei Anwendungsfällen, die auf Grundlage anderer Normen berechnet werden, können die Teilsicherheitsbeiwerte auf der Lastseite angepasst werden (z.B. fliegende Bauten nach EN 13814, $\gamma_F = 1,35$ für Nutzlasten).

For applications which can be calculated on the basis of other codes, the partial safety factors can be adjusted (for example temporary structures acc. EN 13814, $\gamma_F = 1.35$ for payloads).

Bei Anwendung des British Standard (BS) und des ANSI müssen die in den Tabellen aufgeführten zulässigen Belastungen mit dem Faktor 0,85 multipliziert werden.

To use the resulting allowable loads with British Standard (BS) and ANSI, allowable loads listed in tables have to be multiplied by 0.85.

Die Tabellenwerte sind berechnet ohne Anforderung an die Position der Kupplung. Für den Fall, dass der Abstand der Kupplungen von den Lasteinleitungspunkten von Einzellasten $\geq 1,0\text{m}$ in Richtung des Auflagers beträgt, können die Werte aus den Berechnungen der verschiedenen Lastsituationen (siehe Kapitel 5) verwendet werden.

The values are calculated with no requirements for the location of the couplers. In case that the distance from the couplers to the loadingpoints of the single-point loads is $\geq 1,0\text{ m}$ into the direction of the support, the values of the calculations for the different loadcases can be used (see chapter 5).

6.2 Vorhandene Durchbiegung unter max. Belastung:


Deflections at max. allowable loadings

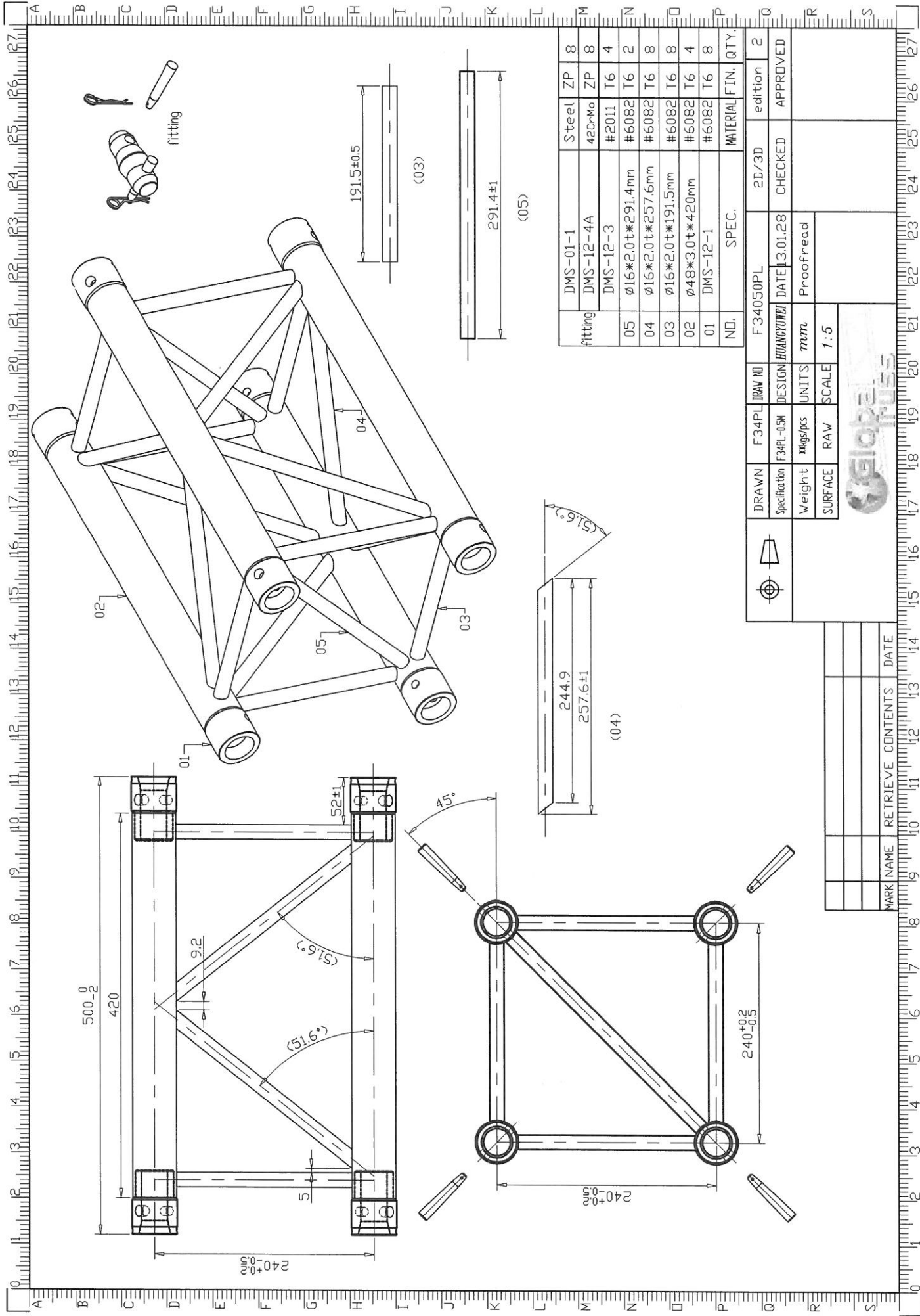
Vorhandene Durchbiegung [cm] F34-PL unter max. zul. Lasten

Deflections [cm] for F34-PL at max. allowable loads

[cm]

Spannweiten	UDL	Einzellasten / Single point loads			
		in 1/2 Punkt	in 1/3 Punkten	in 1/4 Punkten	in 1/5 Punkten
Span	UDL	in 1/2 Point	in 1/3 Points	in 1/4 Points	in 1/5 Points
[m]	[cm]	[cm]	[cm]	[cm]	[cm]
4	0,83	1,05	1,13	1,05	1,00
5	1,62	1,69	2,02	2,05	1,96
6	2,80	2,50	3,01	3,11	3,17
7	4,45	3,46	4,20	4,27	4,38
8	6,11	4,59	5,59	5,62	5,78
9	7,75	5,88	7,18	7,16	7,39
10	9,60	7,33	8,98	8,89	9,20
11	11,64	8,96	10,98	10,81	11,20
12	13,88	10,76	13,19	12,92	13,42
13	16,32	12,73	15,61	15,23	15,83
14	18,96	14,89	18,25	17,74	18,46
15	21,81	17,23	21,10	20,44	21,29
16	24,86	19,76	24,17	23,35	24,33
17	28,11	22,49	27,47	26,46	27,59
18	31,57	25,41	30,99	29,78	31,06

 = Durchbiegung $\geq L/100$
deflection $\geq L/100$

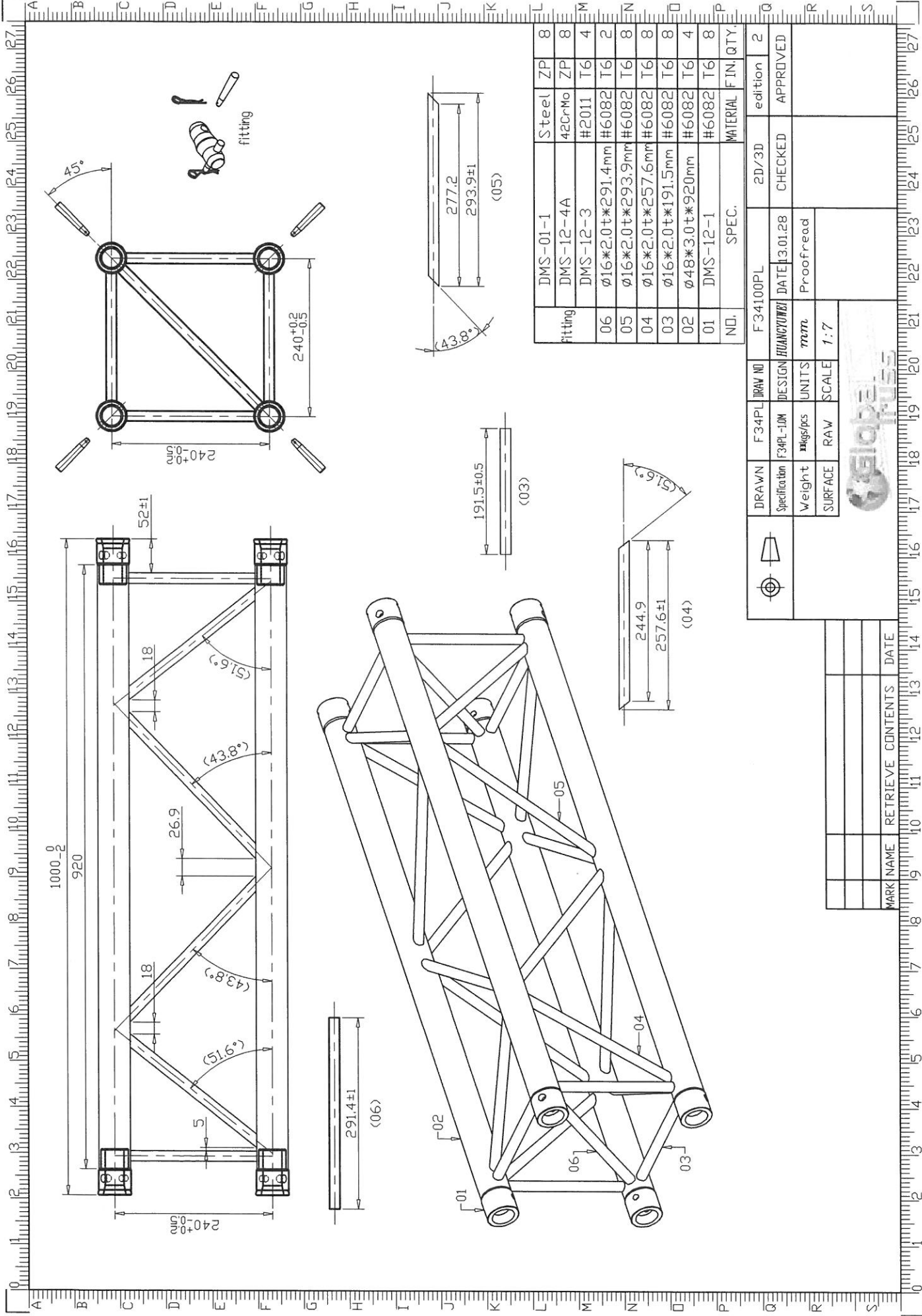


fitting	DMS-01-1	Steel	ZP	8
	DMS-12-4A	42CrMo	ZP	8
	DMS-12-3	#2011	T6	4
05	φ16*2.0t*291.4mm	#6082	T6	2
04	φ16*2.0t*257.6mm	#6082	T6	8
03	φ16*2.0t*191.5mm	#6082	T6	8
02	φ48*3.0t*420mm	#6082	T6	4
01	DMS-12-1	#6082	T6	8
ND.	SPEC.	MATERIAL FIN. QTY.		

DRAWN	F34PL	RAW NI	F34050PL	2D/3D	edition	2
Specification	F34PL-05M	DESIGN	DATE	3.01.28	CHECKED	APPROVED
Weight	kg/pcs	UNITS	Proofread			
SURFACE	RAW	SCALE	1:5			

MARK NAME	RETRIEVE	CONTENTS	DATE



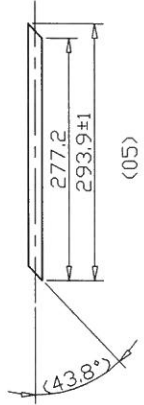
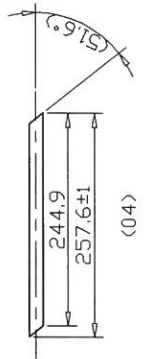
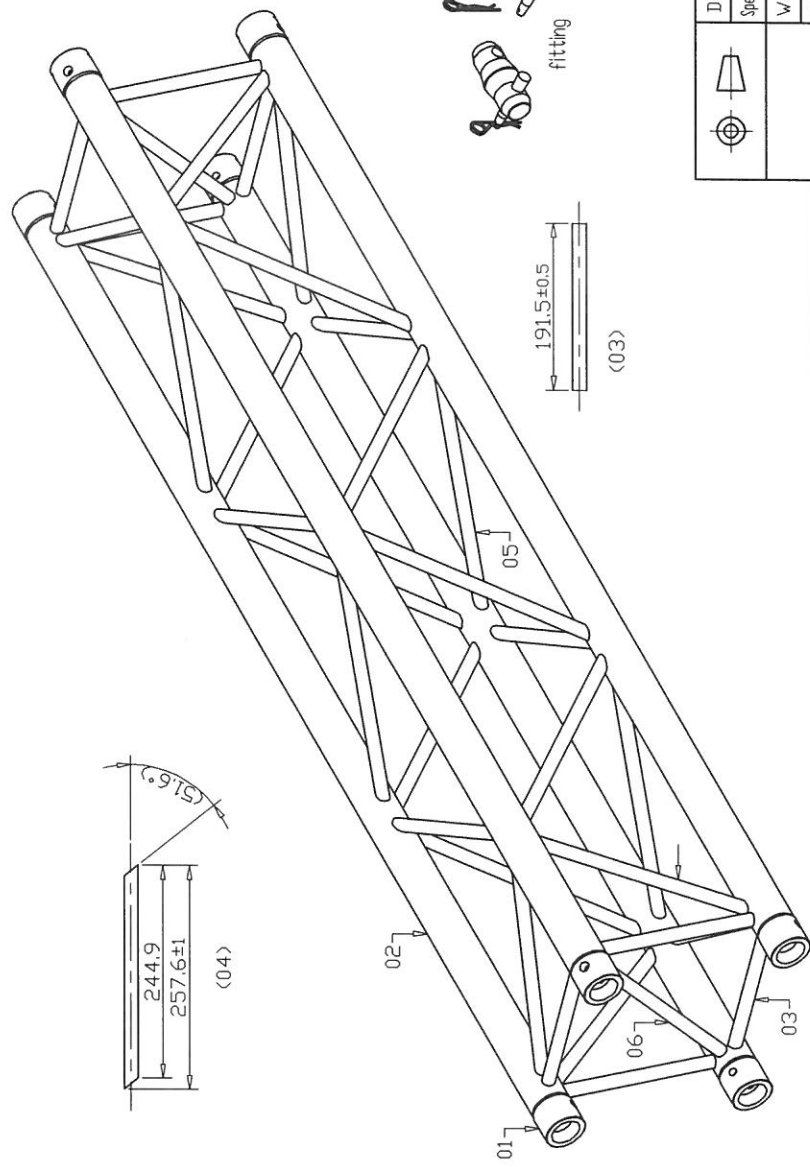
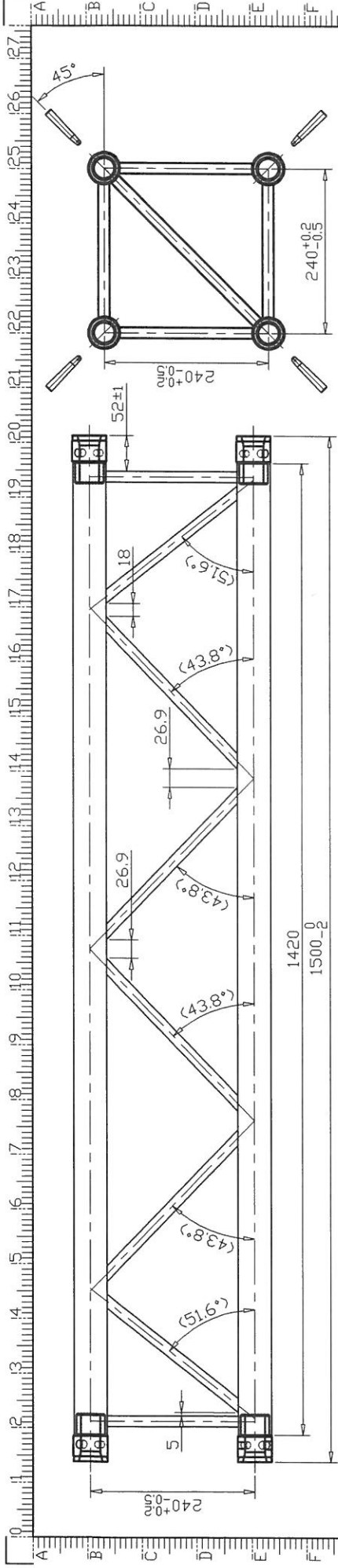


Fitting	DMS-01-1	Steel	ZP	8
	DMS-12-4A	42CrMo	ZP	8
	DMS-12-3	#2011	T6	4
06	∅16*2.0t*291.4mm	#6082	T6	2
05	∅16*2.0t*293.9mm	#6082	T6	8
04	∅16*2.0t*257.6mm	#6082	T6	8
03	∅16*2.0t*191.5mm	#6082	T6	8
02	∅48*3.0t*920mm	#6082	T6	4
01	DMS-12-1	#6082	T6	8
ND.	SPEC.	MATERIAL FIN. QTY.		

DRAWN	F34PL	DRAW NO	F34100PL	2D/3D	edition	2
Specification	F34PL-10M	DESIGN	DATE	CHECKED	APPROVED	
Weight	kggs/pcs	UNITS	Proofread			
SURFACE	RAW	SCALE	1:7			

MARK NAME	RETRIEVE	CONTENTS	DATE



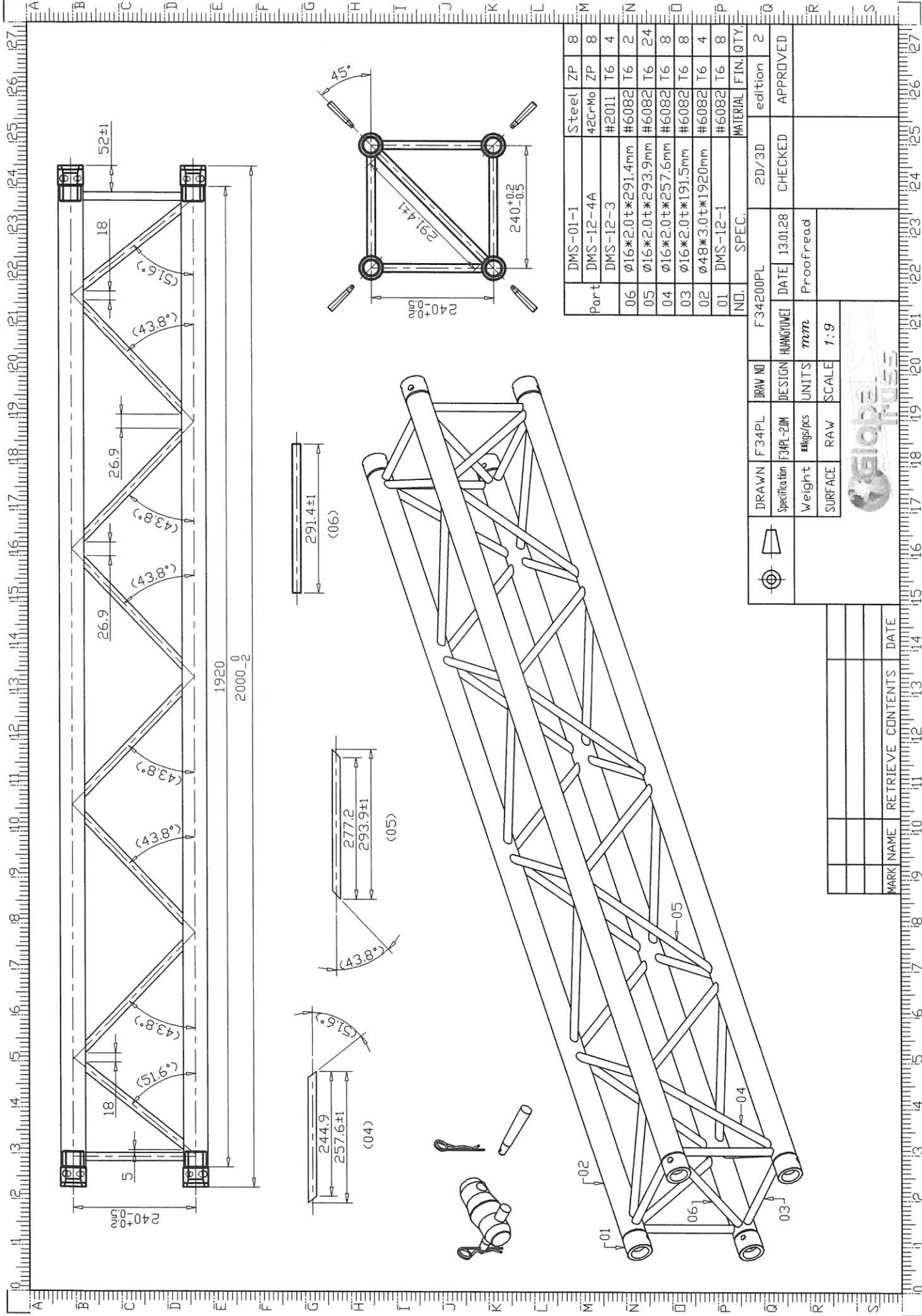


fitting	DMS-01-1	Steel	ZP	8
	DMS-12-4A	42CrMo	ZP	8
	DMS-12-3	#2011	T6	4
06	φ16*2.0t*291.4mm	#6082	T6	2
05	φ16*2.0t*293.9mm	#6082	T6	16
04	φ16*2.0t*257.6mm	#6082	T6	8
03	φ16*2.0t*191.5mm	#6082	T6	8
02	φ48*3.0t*1420mm	#6082	T6	4
01	DMS-12-1	#6082	T6	8
	N.D.	SPEC.	MATERIAL FIN.	QTY.

DRAWN	F34PL	DRAW NO	F34150PL	2D/3D	edition	2	
Specification	F34PL-15M	DESIGN	HUANGYUN	DATE	13.01.28	CHECKED	APPROVED
Weight	#kgs/pcs	UNITS	mm	Proofread			
SURFACE	RAW	SCALE	1:8				

MARK NAME	RETRIEVE	CONTENTS	DATE



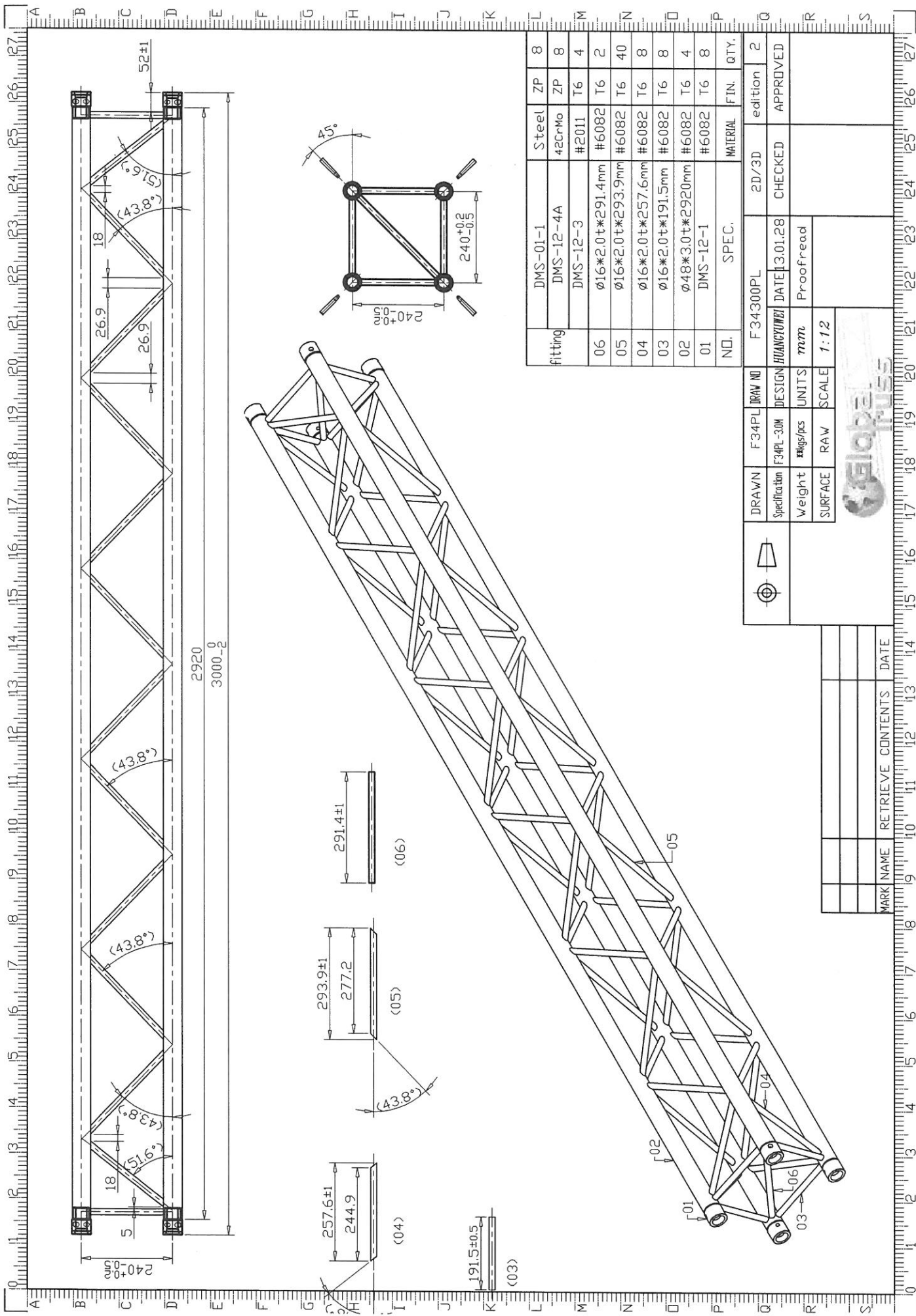


Part	DMS-01-1	Steel	ZP	8
	DMS-12-4A	42CrMo	ZP	8
	DMS-12-3	#2011	T6	4
06	Ø16*2.0t*291.4mm	#6082	T6	2
05	Ø16*2.0t*293.9mm	#6082	T6	24
04	Ø16*2.0t*257.6mm	#6082	T6	8
03	Ø16*2.0t*191.5mm	#6082	T6	8
02	Ø48*3.0t*1920mm	#6082	T6	4
01	DMS-12-1	#6082	T6	8
NO.	SPEC.	MATERIAL	FIN.	QTY.

DRAWN	F34PL	RAW NO	F34200PL	2D/3D	edition	2	
Specification	F34PL-2JM	DESIGN	HUANGJINWEI	DATE	13.01.28	CHECKED	APPROVED
Weight	kg/pcs	UNITS	mm	Proofread			
SURFACE	RAW	SCALE	1:9				

MARK NAME	RETRIEVE CONTENTS	DATE



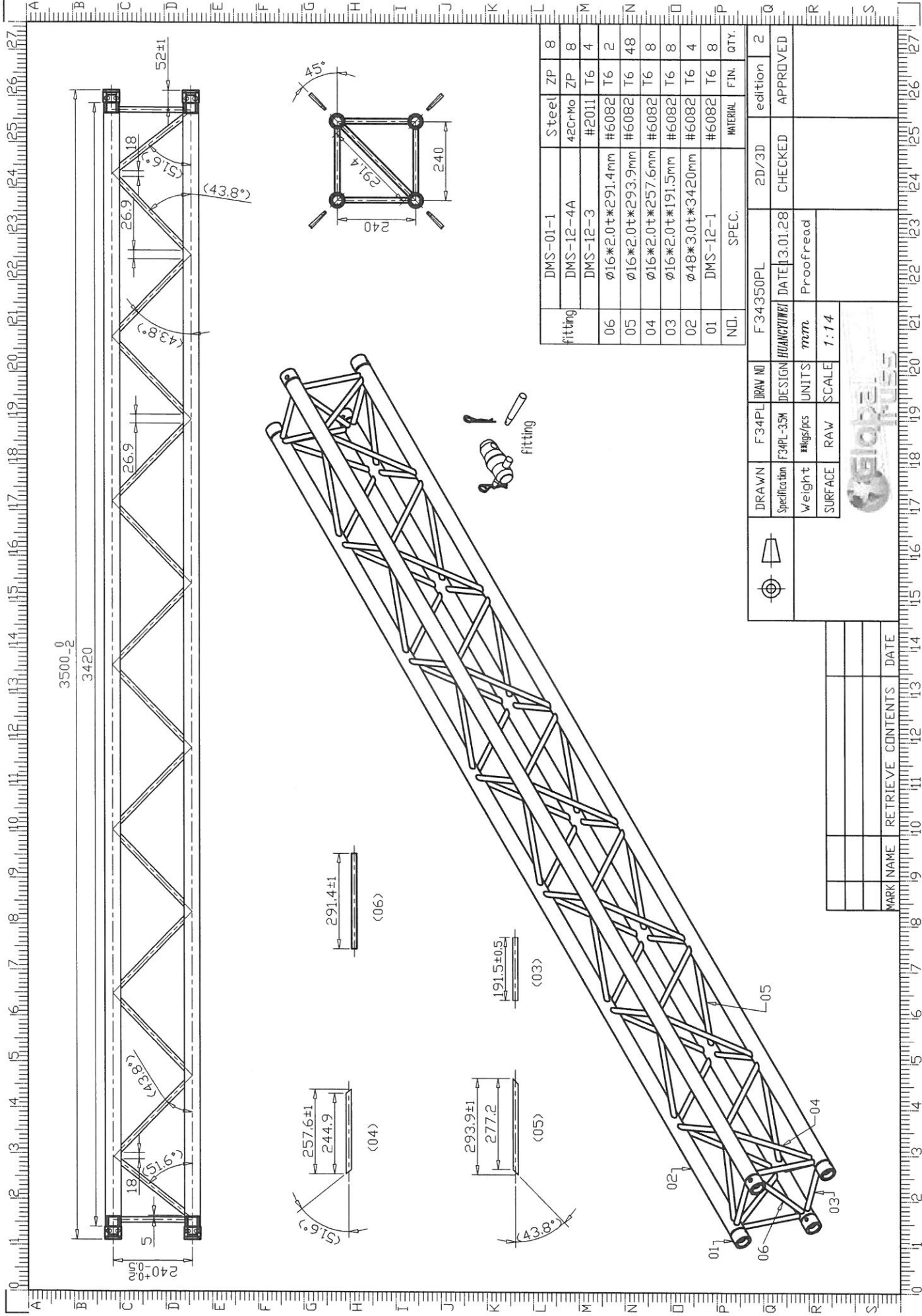


fitting	DMS-01-1	Steel	ZP	8
	DMS-12-4A	42CrMo	ZP	8
	DMS-12-3	#2011	T6	4
06	Ø16*2.0t*291.4mm	#6082	T6	2
05	Ø16*2.0t*293.9mm	#6082	T6	40
04	Ø16*2.0t*257.6mm	#6082	T6	8
03	Ø16*2.0t*191.5mm	#6082	T6	8
02	Ø48*3.0t*2920mm	#6082	T6	4
01	DMS-12-1	#6082	T6	8
NO.	SPEC.	MATERIAL	FIN.	QTY.

DRAWN	F34PL	DRAW NU	F34300PL	2D/3D	edition	2
Specification	F34PL-30M	DESIGN	HUANGYUNZ	DATE	3.01.28	CHECKED
Weight	kggs/pcs	UNITS	mm	Proofread		APPROVED
SURFACE	RAW	SCALE	1:12			

MARK NAME	RETRIEVE	CONTENTS	DATE



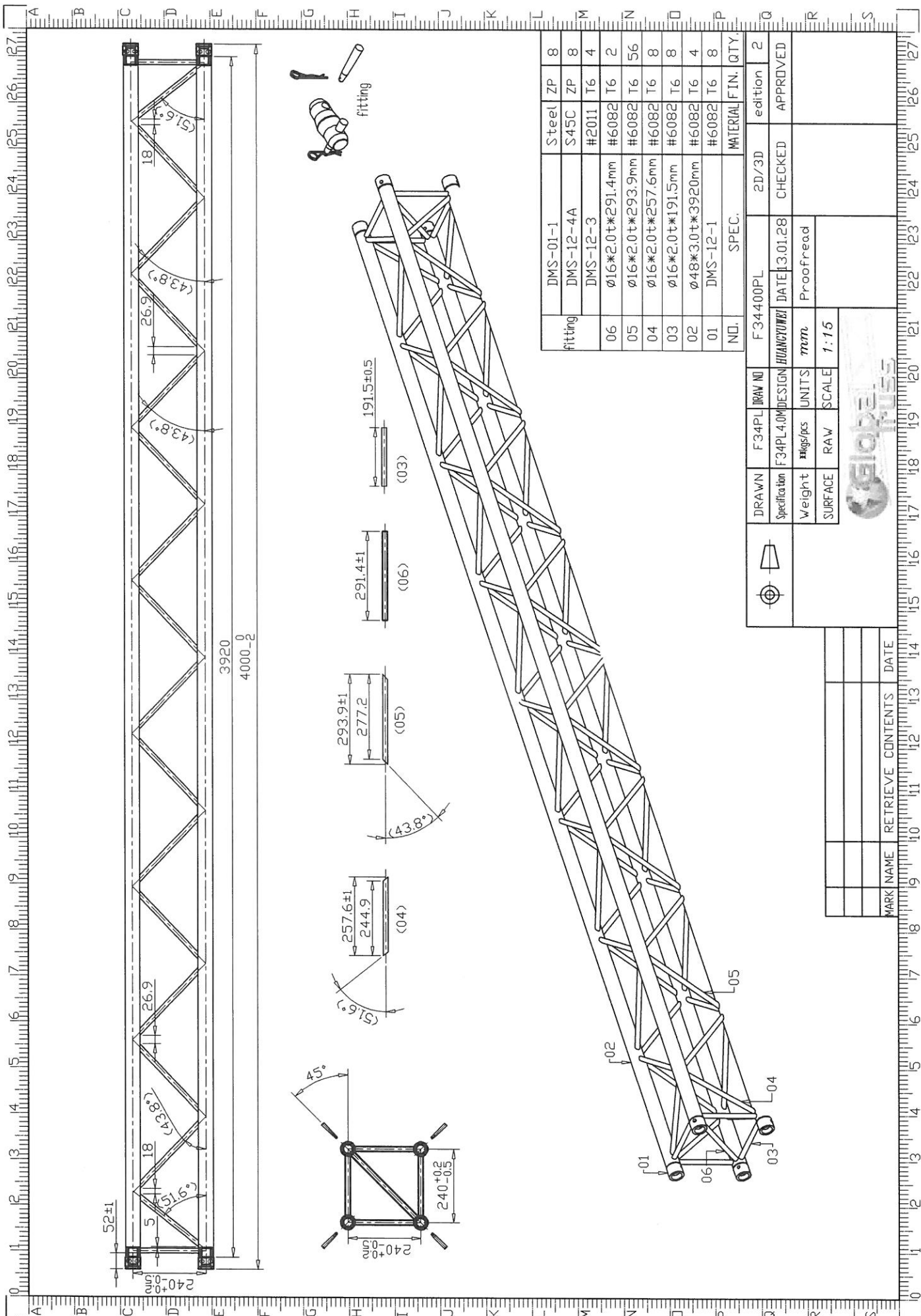


fitting	DMS-01-1	Steel	ZP	8
	DMS-12-4A	42CrMo	ZP	8
	DMS-12-3	#2011	T6	4
06	φ16*2.0t*291.4mm	#6082	T6	2
05	φ16*2.0t*293.9mm	#6082	T6	48
04	φ16*2.0t*257.6mm	#6082	T6	8
03	φ16*2.0t*191.5mm	#6082	T6	8
02	φ48*3.0t*3420mm	#6082	T6	4
01	DMS-12-1	#6082	T6	8
	N.D.	SPEC.	MATERIAL	FIN. QTY.

DRAWN	F34PL	RAW NO	F34350PL	2D/3D	edition	2
Specification	F34PL-35M	DESIGN	HUANGYUN	DATE	13.01.28	CHECKED
Weight	kggs/pcs	UNITS	mm	Proofread		APPROVED
SURFACE	RAW	SCALE	1:1.4			

MARK NAME	RETRIEVE	CONTENTS	DATE



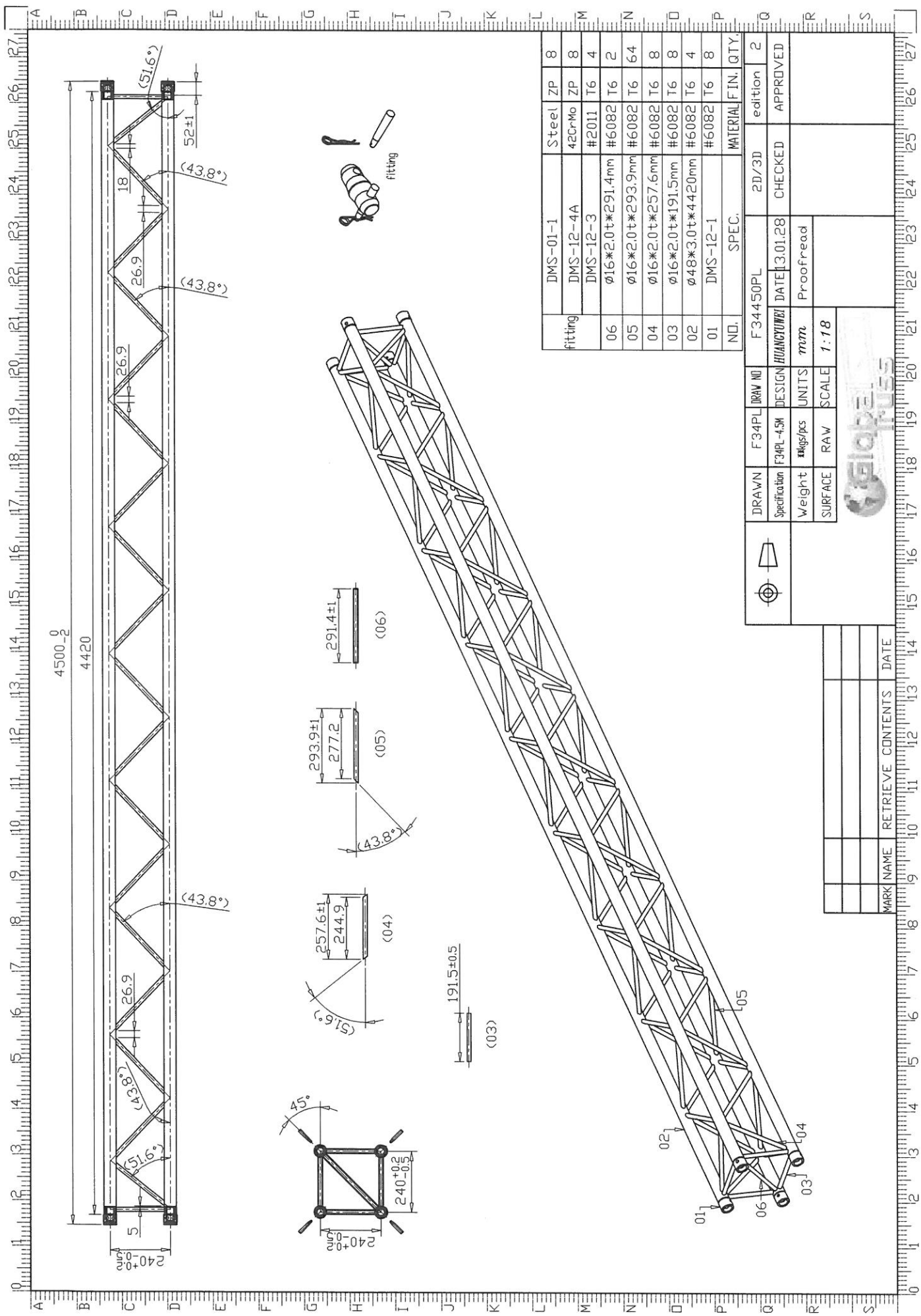


fitting	DMS-01-1	Steel	ZP	8
	DMS-12-4A	S45C	ZP	8
	DMS-12-3	#2011	T6	4
	$\phi 16 * 2.0 * t * 291.4 \text{mm}$	#6082	T6	2
	$\phi 16 * 2.0 * t * 293.9 \text{mm}$	#6082	T6	56
	$\phi 16 * 2.0 * t * 257.6 \text{mm}$	#6082	T6	8
	$\phi 16 * 2.0 * t * 191.5 \text{mm}$	#6082	T6	8
	$\phi 48 * 3.0 * t * 3920 \text{mm}$	#6082	T6	4
	DMS-12-1	#6082	T6	8
	N.D.	SPEC.	MATERIAL FIN.	QTY

DRAWN	F34PL	BRW NI	F34400PL	2D/3D	edition	2
Specification	F34PL4.0M	DESIGN	HUANGYUN	DATE	13.01.28	CHECKED
Weight	kggs/pcs	UNITS	mm	Proofread		APPROVED
SURFACE	RAW	SCALE	1:15			

MARK NAME	RETRIEVE	CONTENTS	DATE



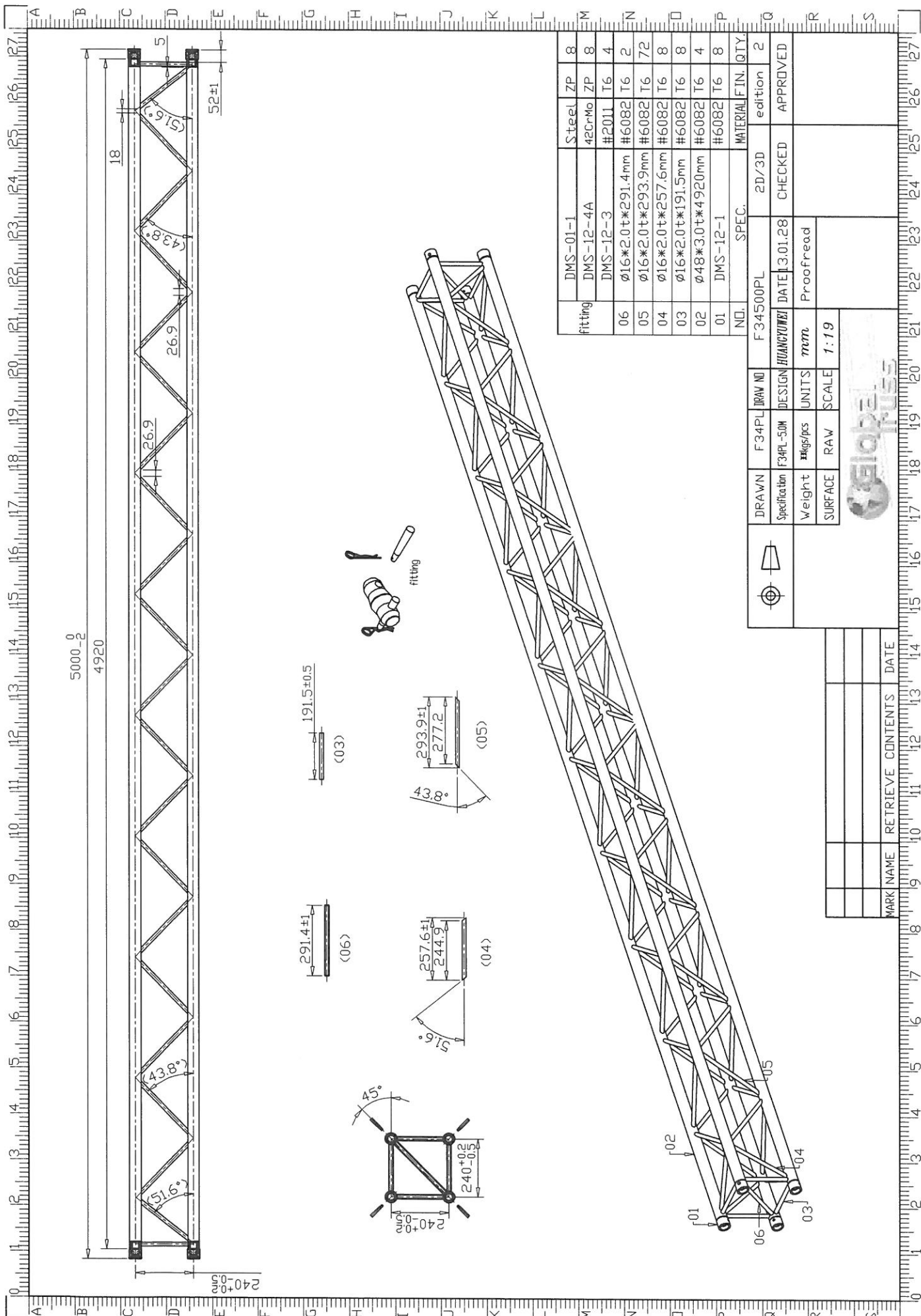


fitting	DMS-01-1	Steel	ZP	8
	DMS-12-4A	42CrMo	ZP	8
	DMS-12-3	#2011	T6	4
06	Ø16*2.0t*291.4mm	#6082	T6	2
05	Ø16*2.0t*293.9mm	#6082	T6	64
04	Ø16*2.0t*257.6mm	#6082	T6	8
03	Ø16*2.0t*191.5mm	#6082	T6	8
02	Ø48*3.0t*4420mm	#6082	T6	4
01	DMS-12-1	#6082	T6	8
	N.D.	SPEC.	MATERIAL FIN.	QTY.

DRAWN	F 34PL	DRAW NO	F 344 50PL	2D/3D	edition	2	
Specification	F34PL-4.5M	DESIGN	HUANGYUNZEI	DATE	3.01.28	CHECKED	APPROVED
Weight	kggs/pcs	UNITS	mm	Proofread			
SURFACE	RAV	SCALE	1:18				

MARK NAME	RETRIEVE	CONTENTS	DATE





fitting	DMS-01-1	Steel	ZP	8
	DMS-12-4A	42CrMo	ZP	8
	DMS-12-3	#2011	T6	4
06	Ø16*2.0±*291.4mm	#6082	T6	2
05	Ø16*2.0±*293.9mm	#6082	T6	72
04	Ø16*2.0±*257.6mm	#6082	T6	8
03	Ø16*2.0±*191.5mm	#6082	T6	8
02	Ø48*3.0±*4920mm	#6082	T6	4
01	DMS-12-1	#6082	T6	8
NO.	SPEC.	MATERIAL	FIN.	QTY.
	F 34S00PL	2D/3D	edition	2
	DATE	3.01.28	CHECKED	APPROVED
	DESIGN	HUANGYUN	UNITS	Proofread
	RAW	mm	SCALE	1:19

DRAWN	F 34PL	RAW NO	
Specification	F34PL-50M	DESIGN	HUANGYUN
Weight	kg/pcs	UNITS	mm
SURFACE	RAW	SCALE	1:19

MARK NAME	RETRIEVE	CONTENTS	DATE

